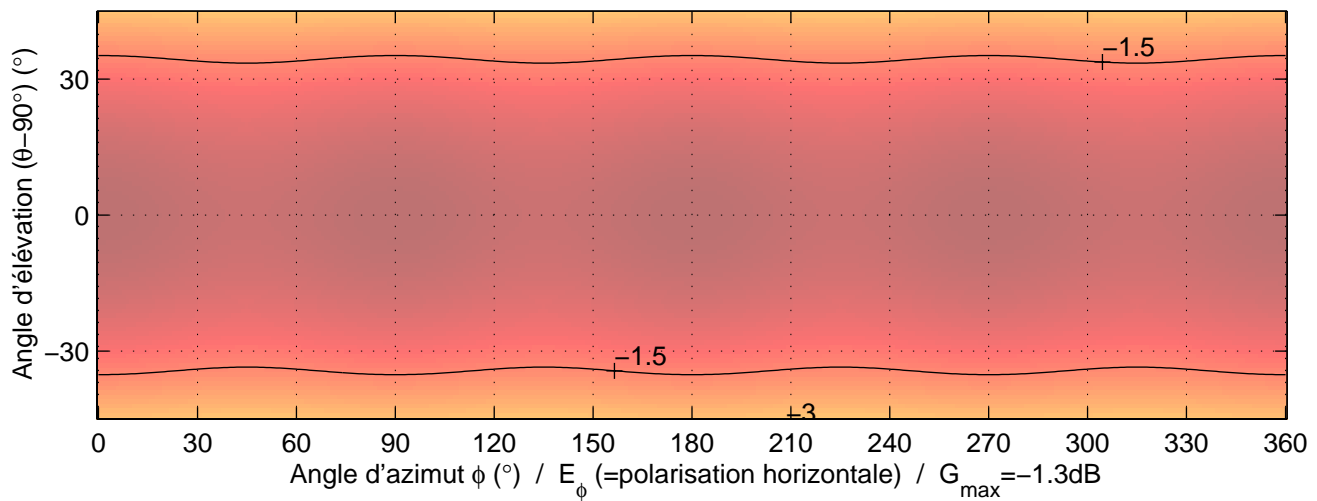
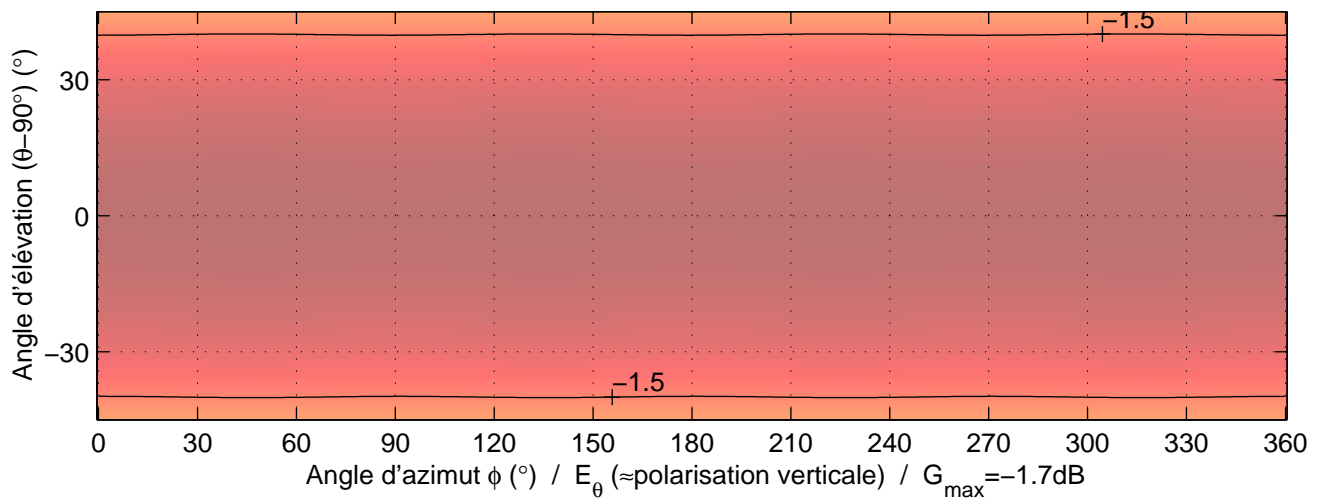
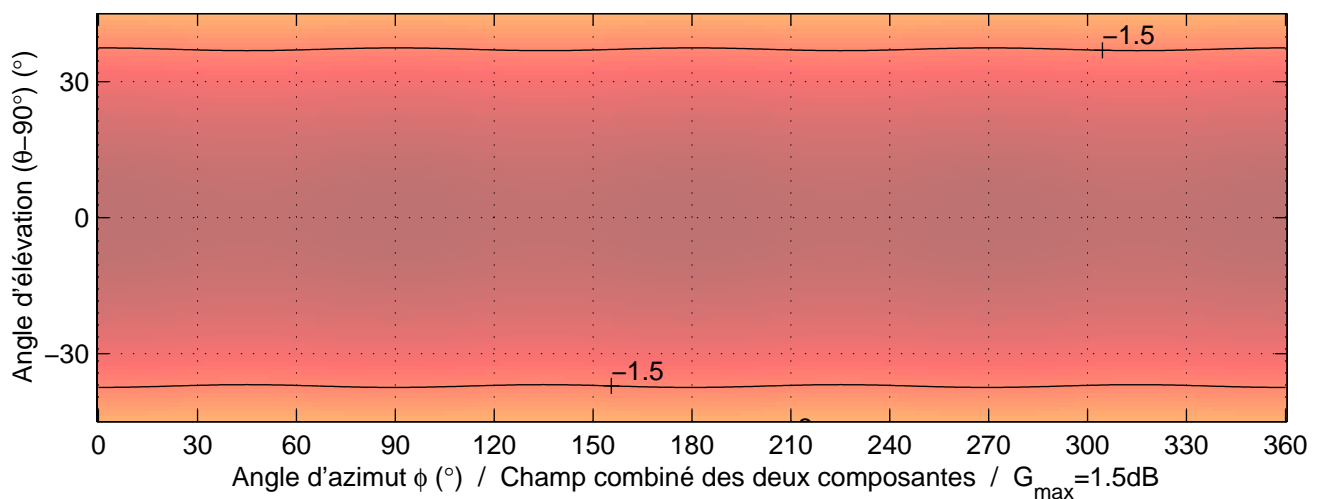
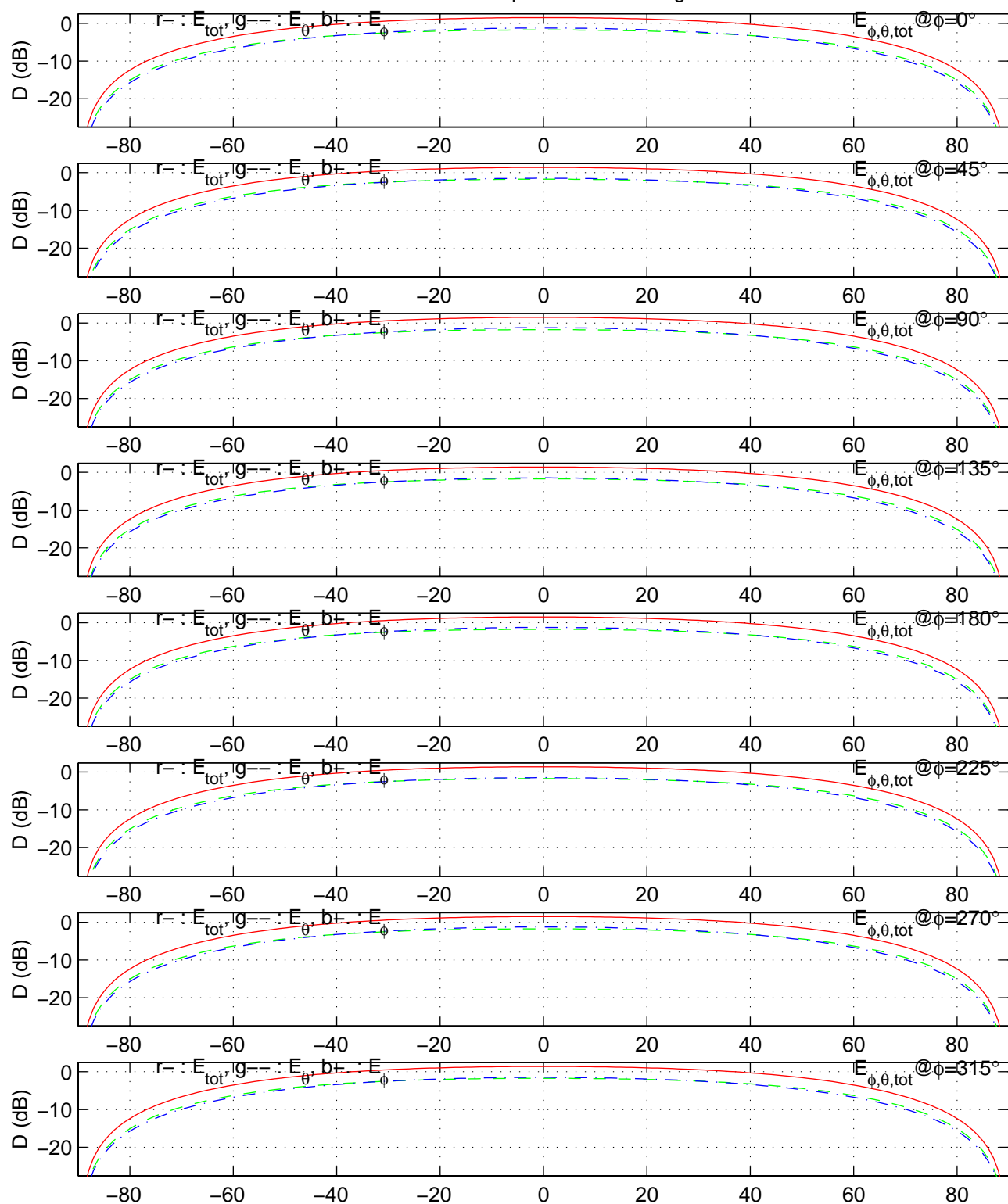
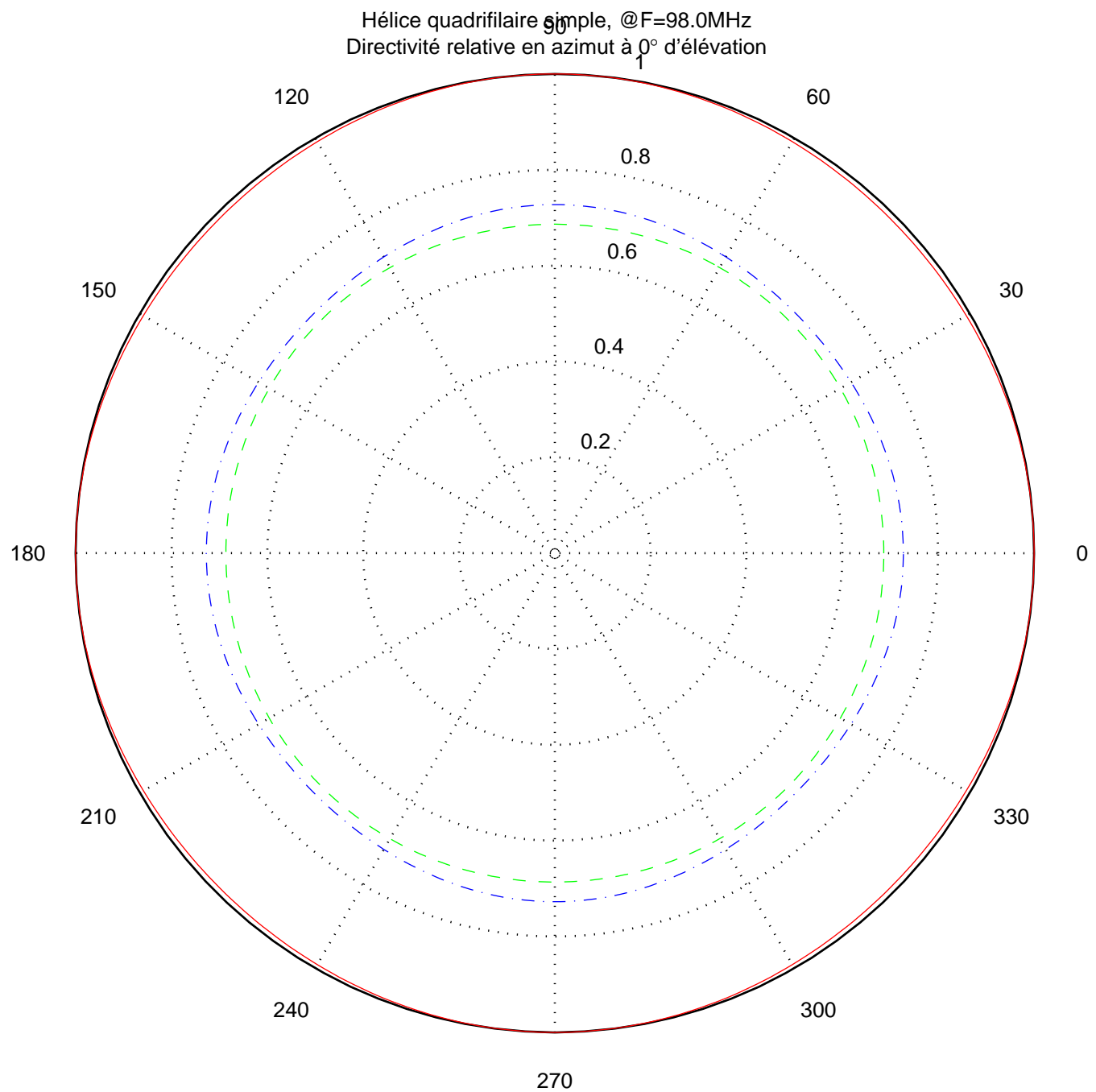


Hélice quadrifilaire simple, @F=98.0MHz  
Intensités normalisées au maximum de chaque composante

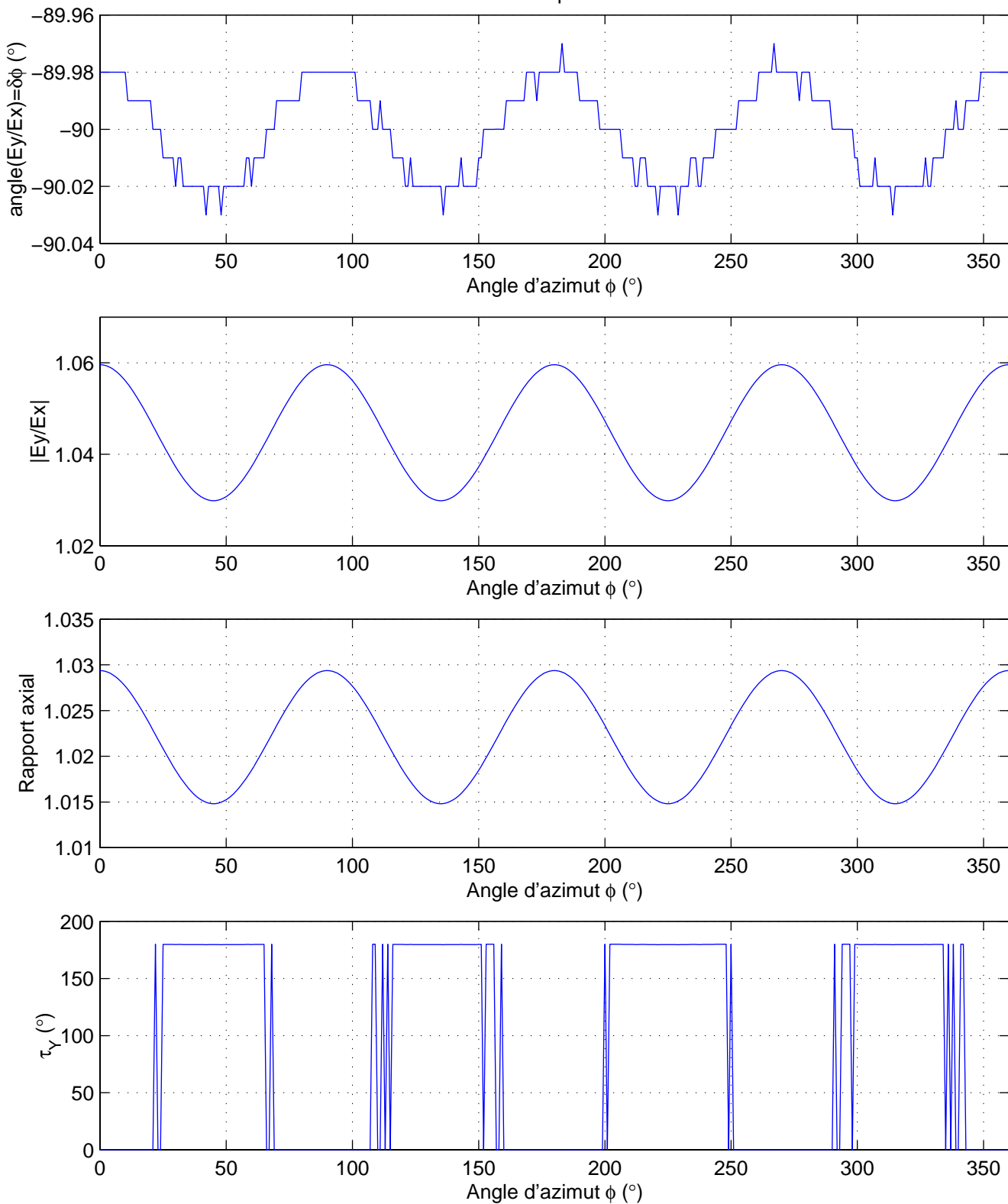


Hélice quadrifilaire simple, @F=98.0MHz  
Directivité en élévation pour différents angles d'azimut

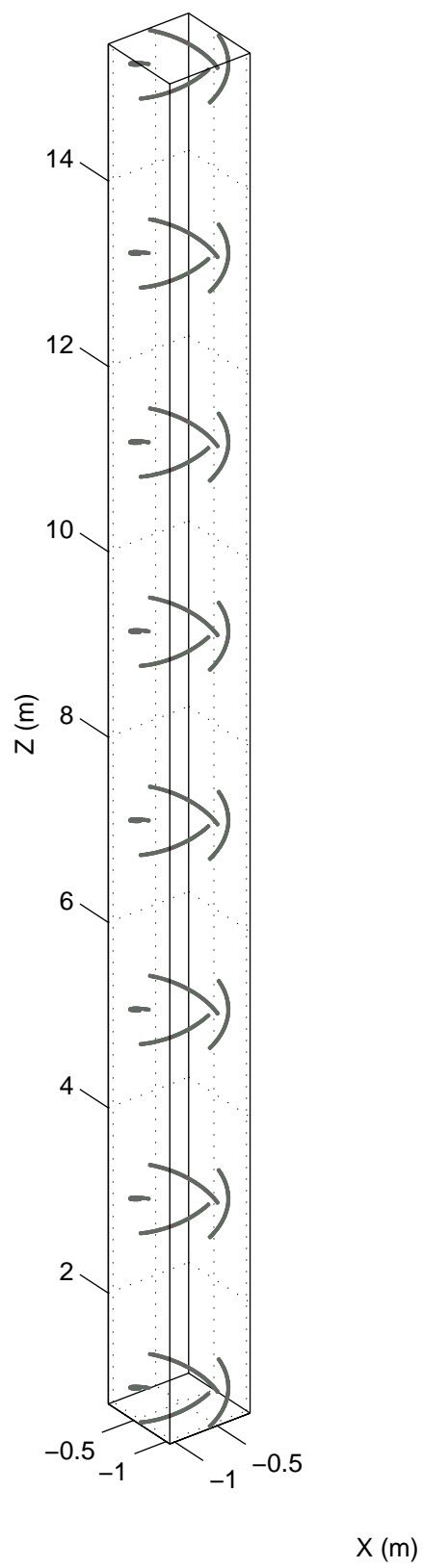




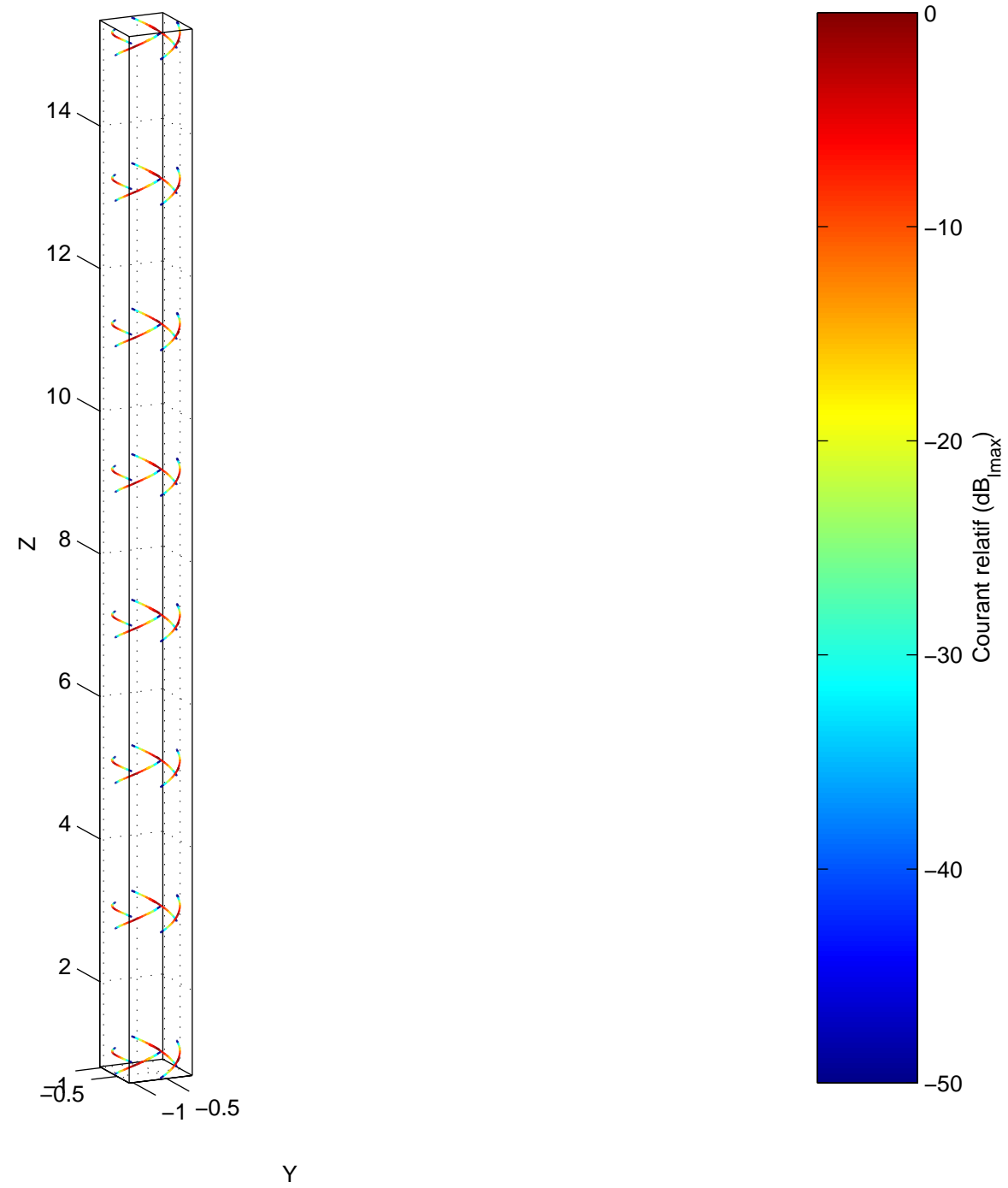
Hélice quadrifilaire simple, @F=98.0MHz  
 Étude de la polarisation



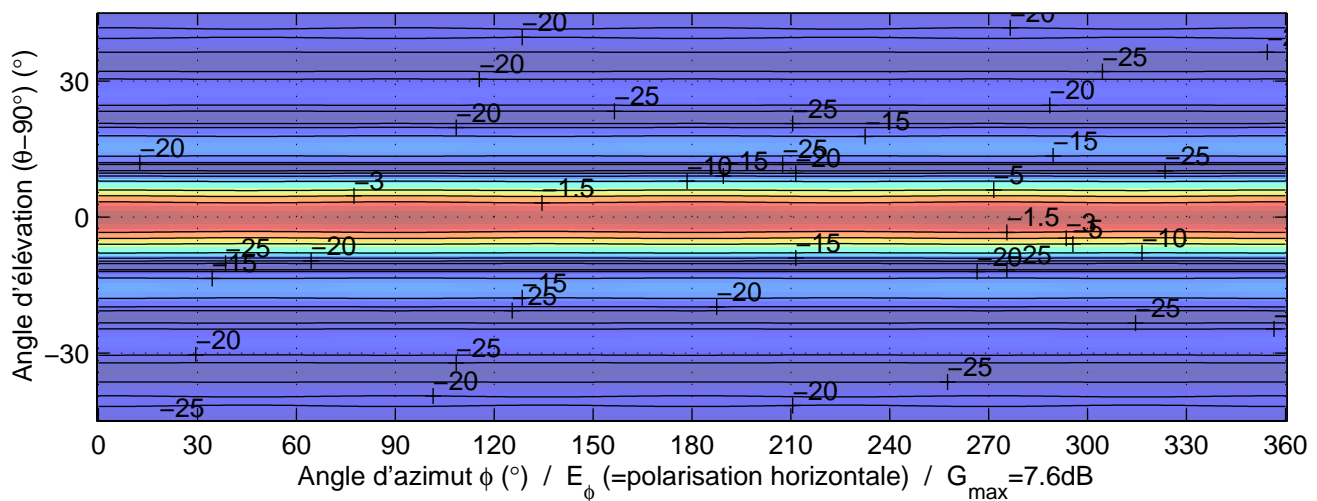
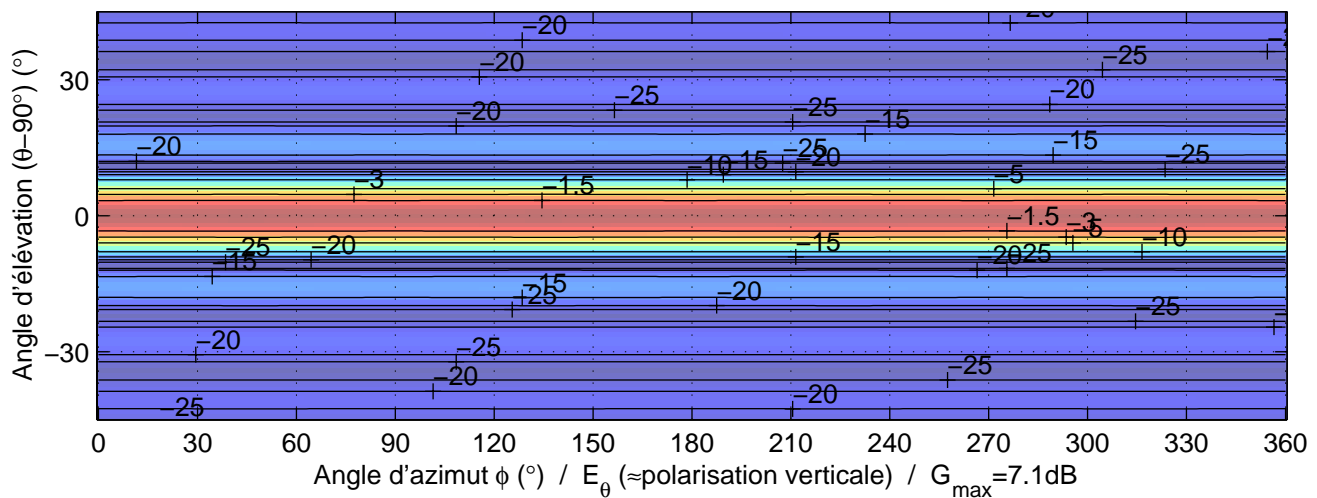
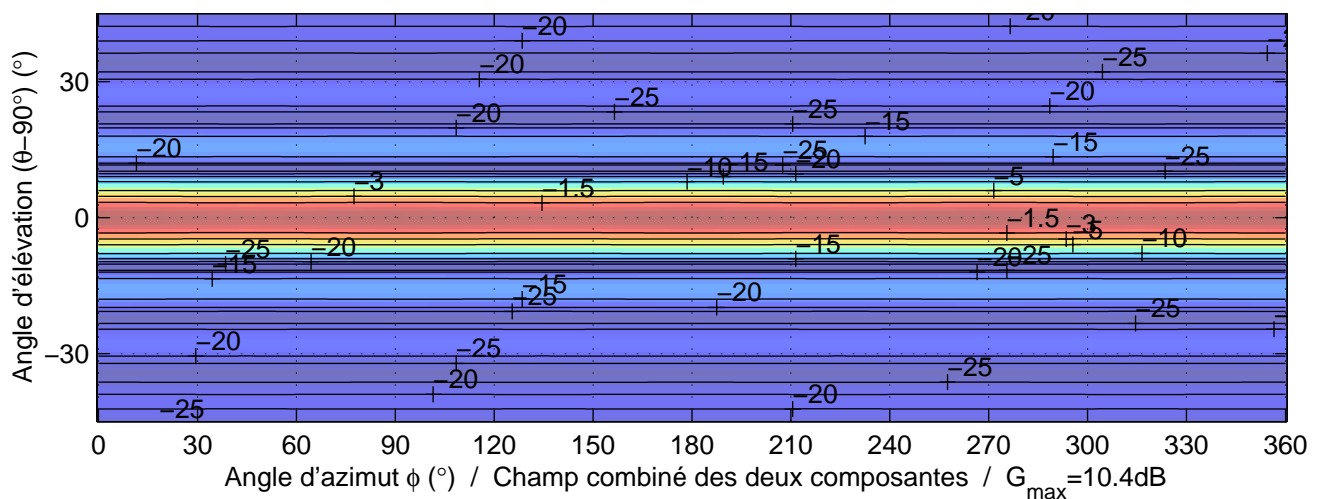
Réseau de 8 antennes idéales, @F=98.0MHz  
480 segments, 32 sources, 0 impédances



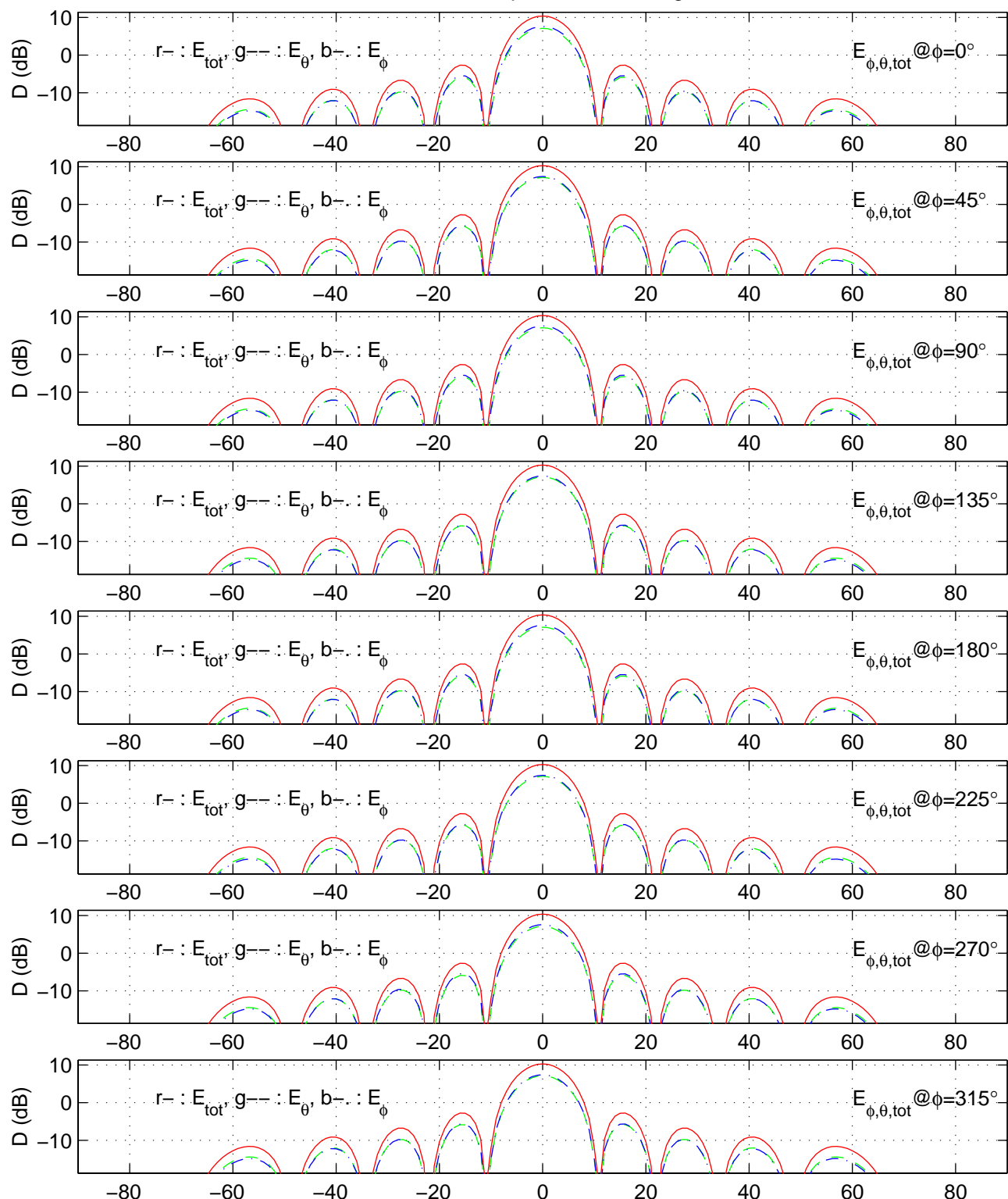
Réseau de 8 antennes idéales, @F=98.0MHz

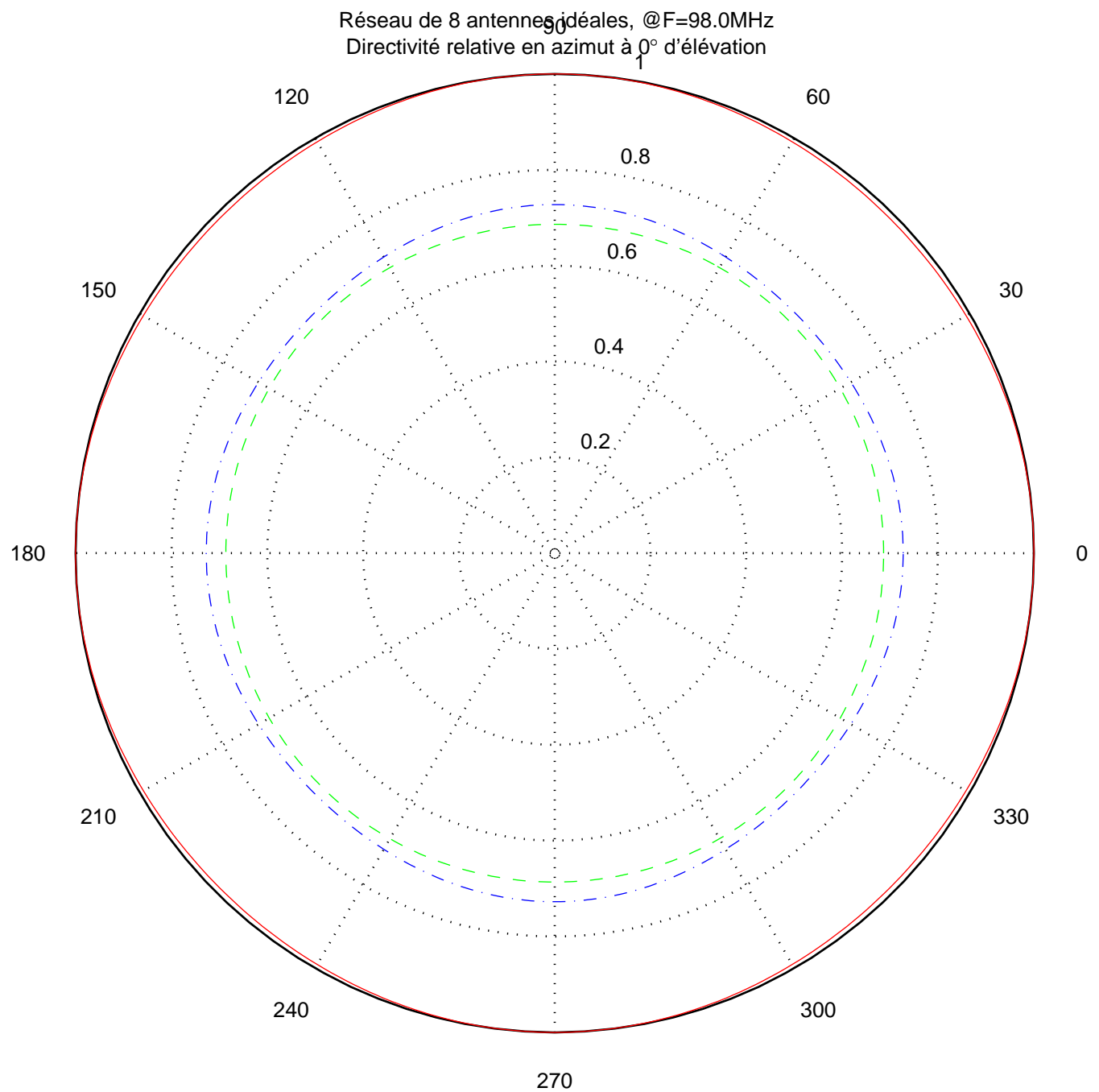


Réseau de 8 antennes idéales, @ $F=98.0\text{MHz}$   
Intensités normalisées au maximum de chaque composante

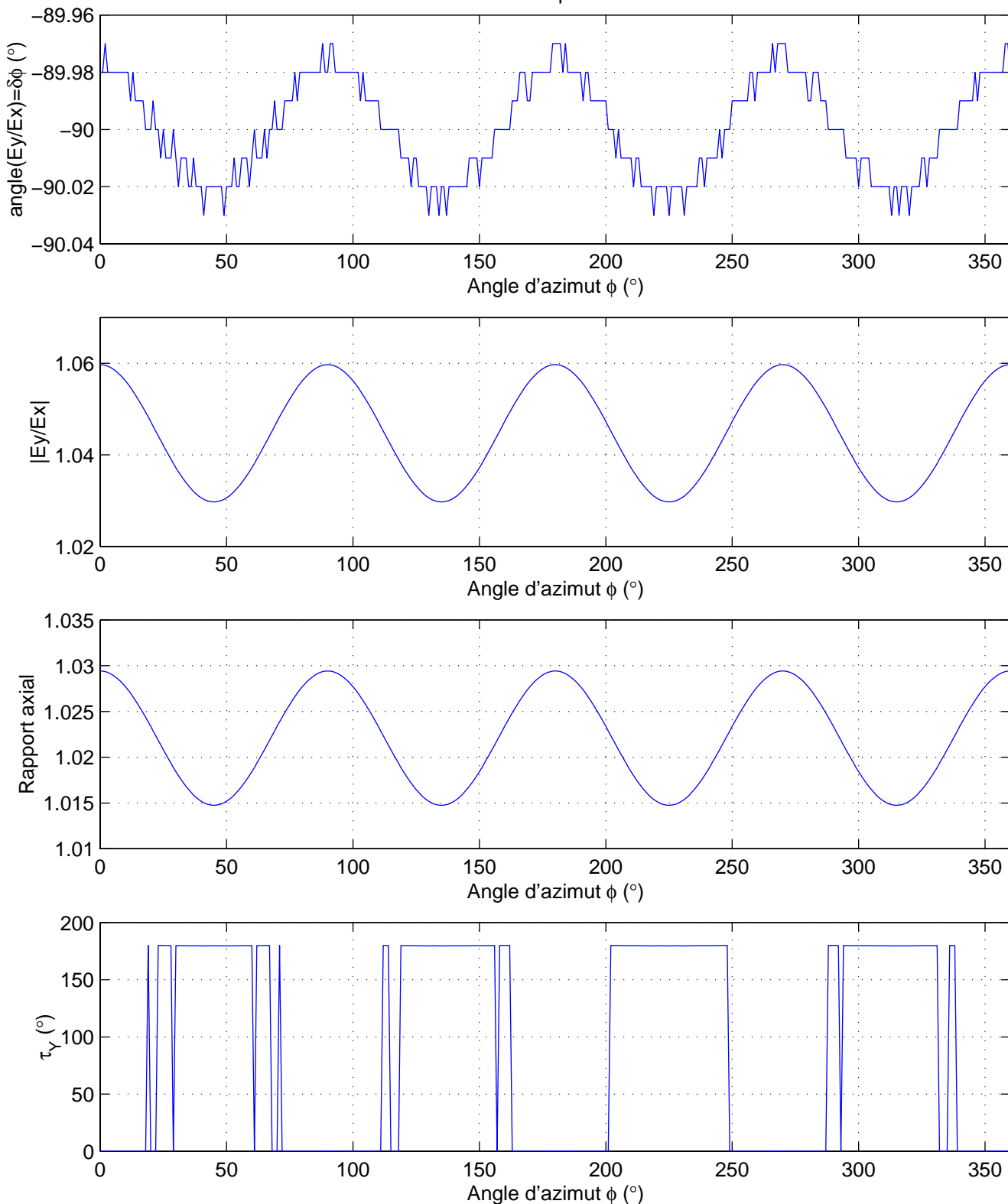


Réseau de 8 antennes idéales, @F=98.0MHz  
Directivité en élévation pour différents angles d'azimut

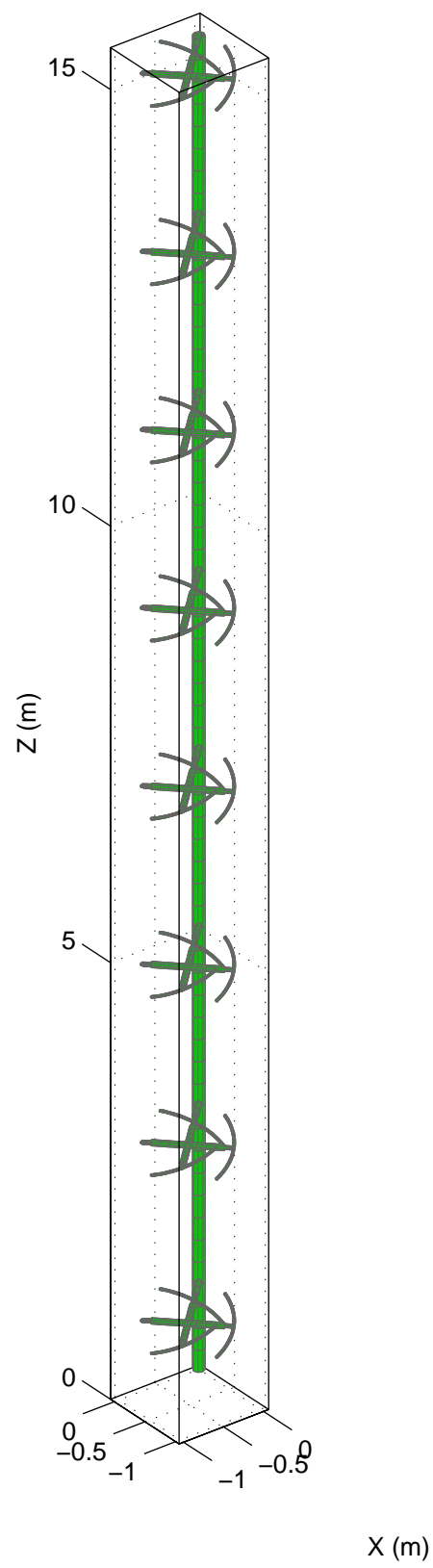




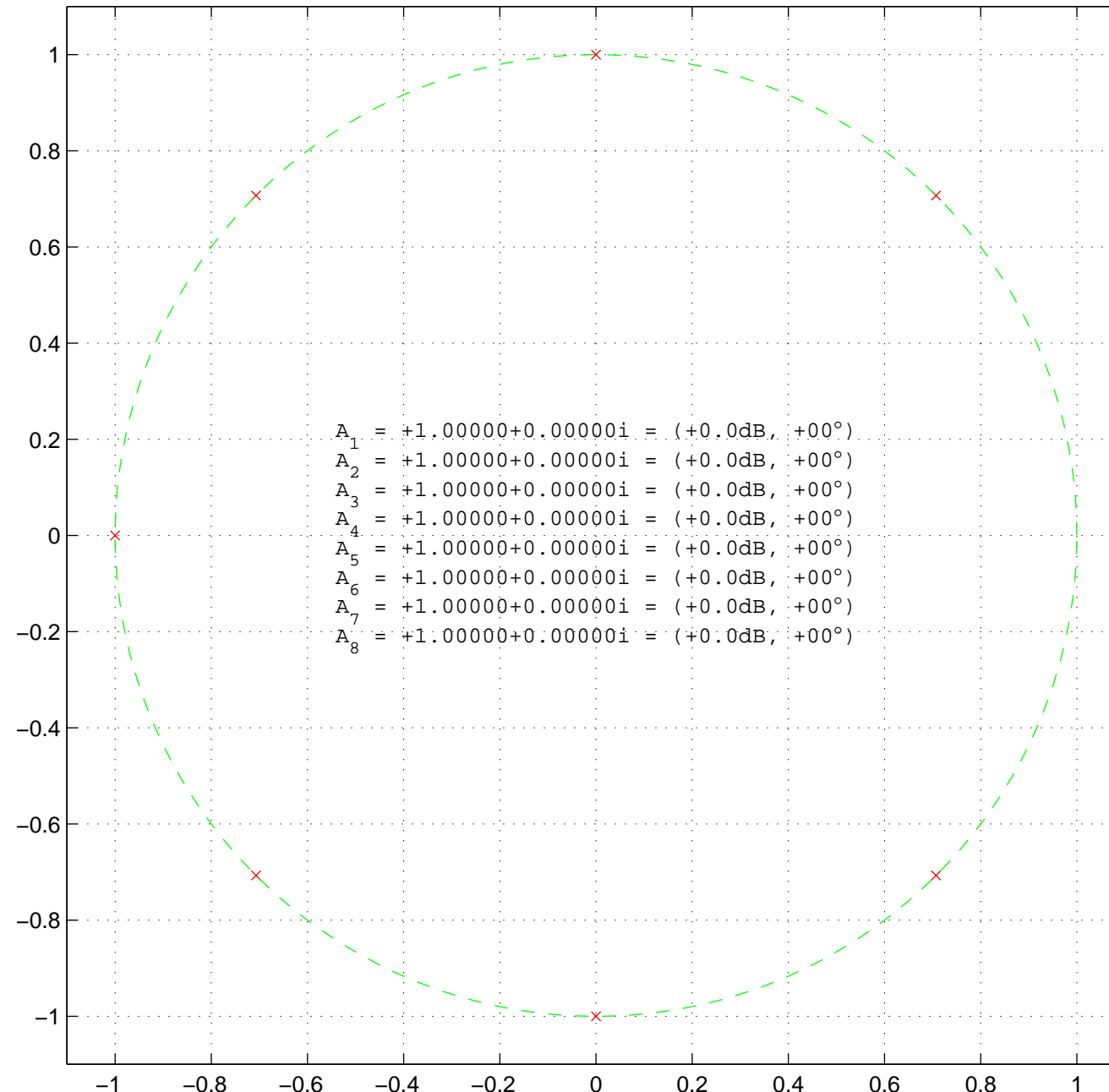
Réseau de 8 antennes idéales, @F=98.0MHz  
 Étude de la polarisation



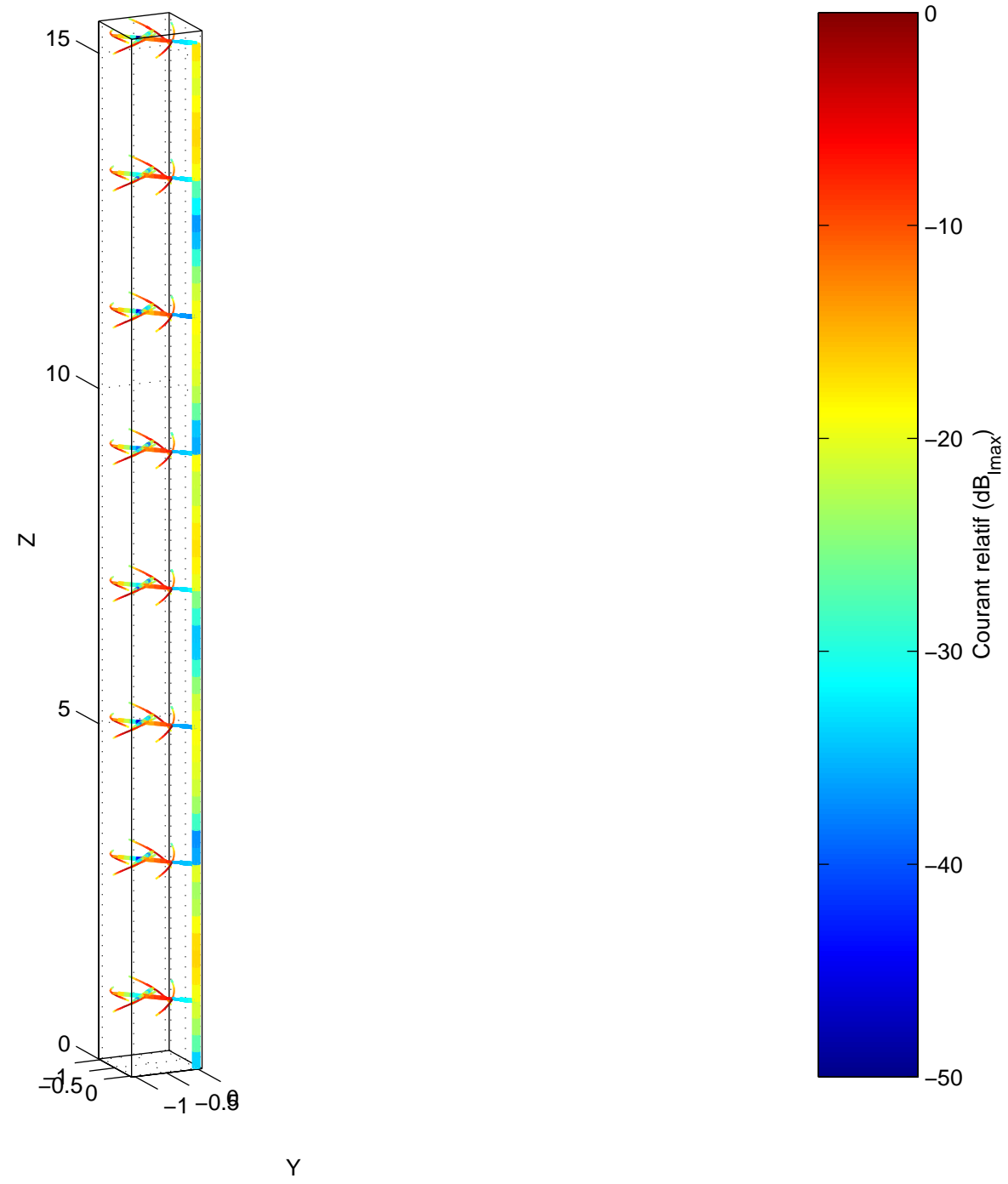
Réseau à 8 antennes, pylone, distribution uniforme, @F=98.0MHz  
764 segments, 32 sources, 0 impédances



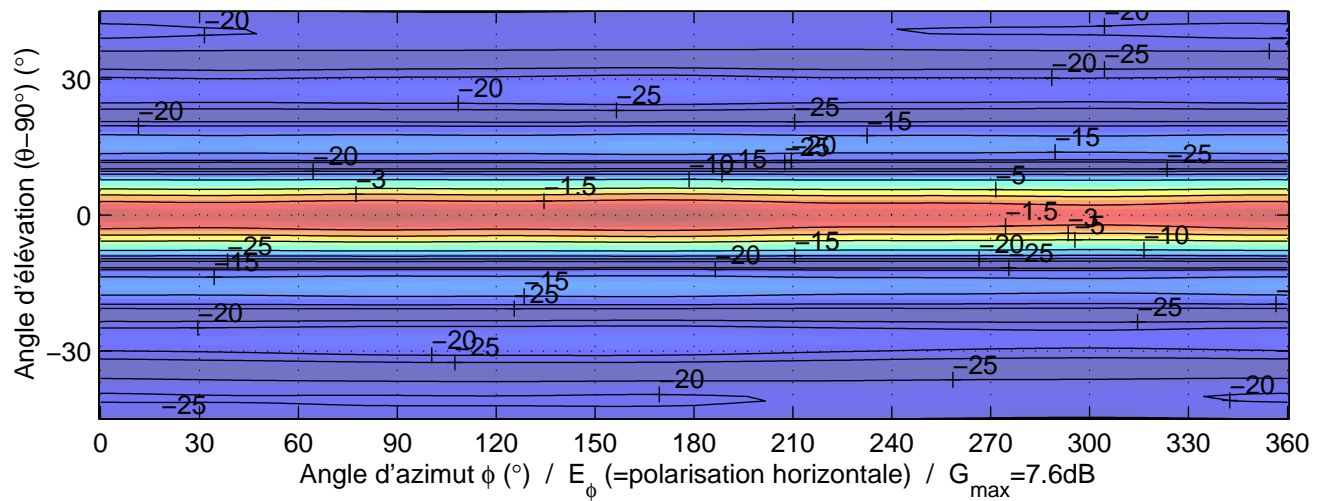
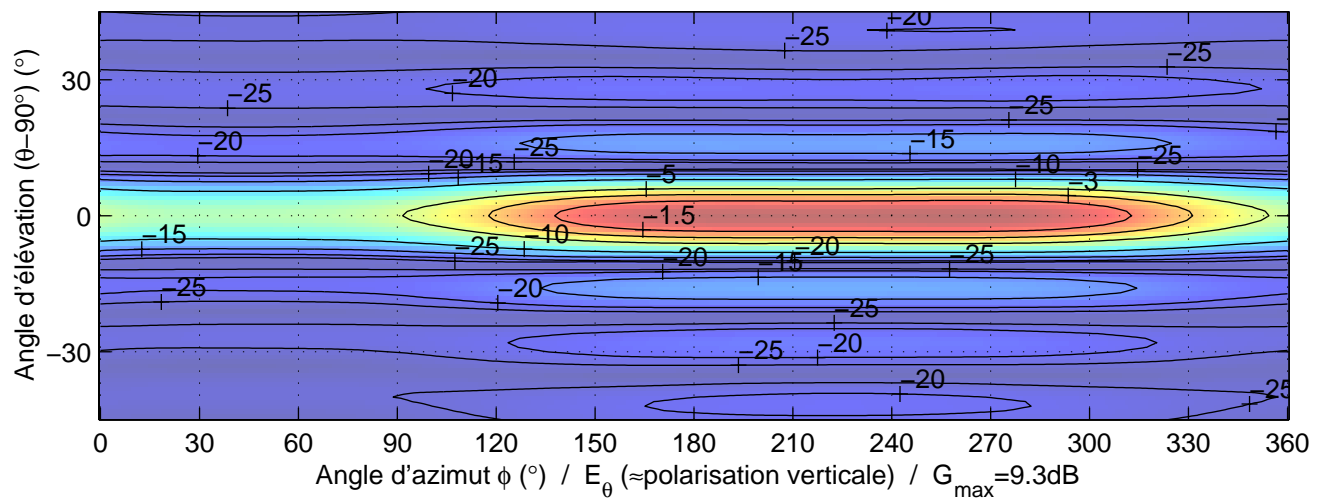
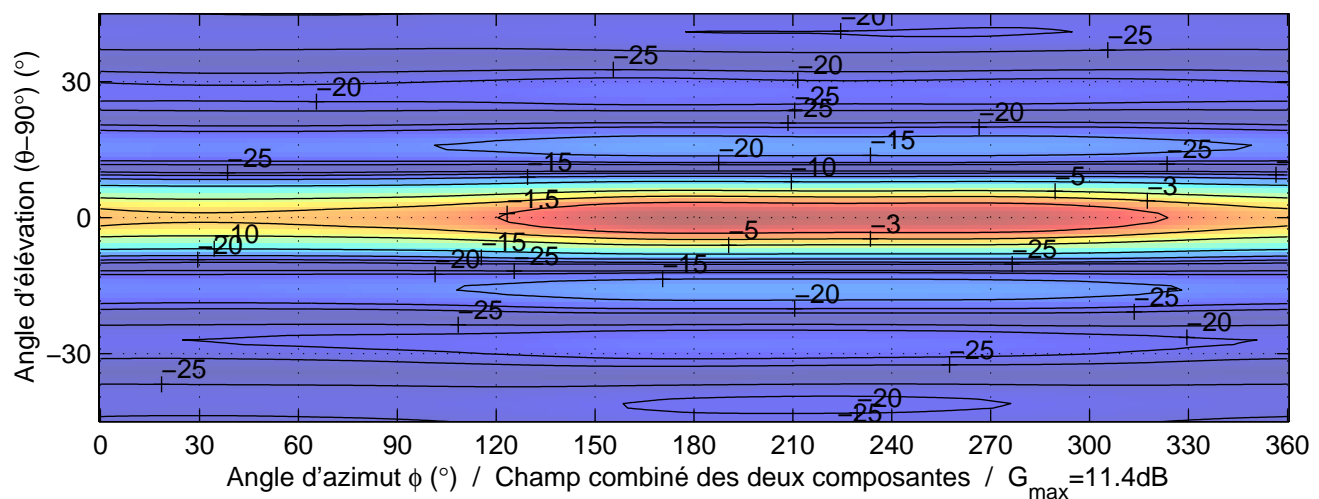
Réseau à 8 antennes, pylone, distribution uniforme, @F=98.0MHz  
Pondération des éléments du réseau, et représentation de Schelkunoff



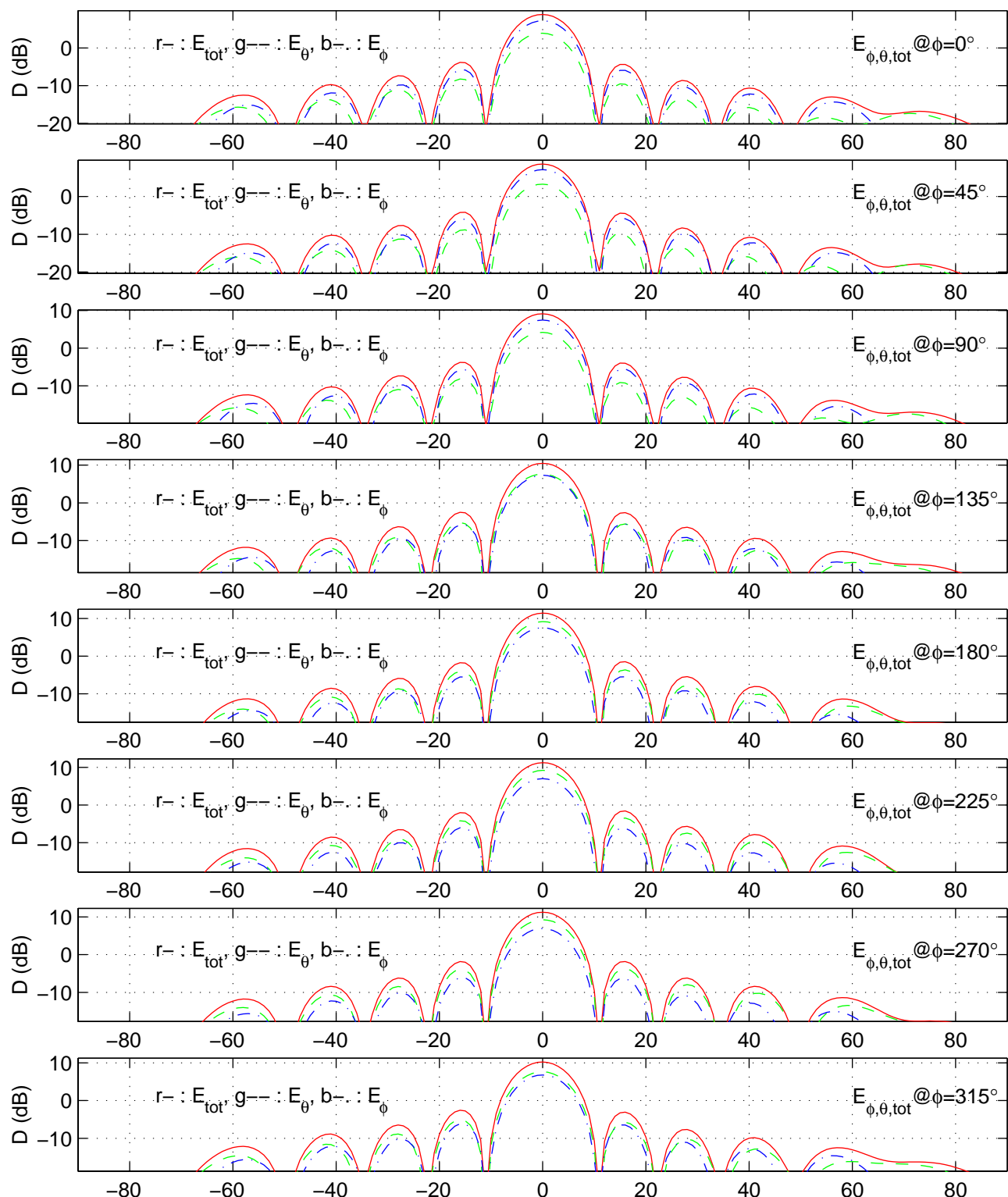
Réseau à 8 antennes, pylone, distribution uniforme, @F=98.0MHz

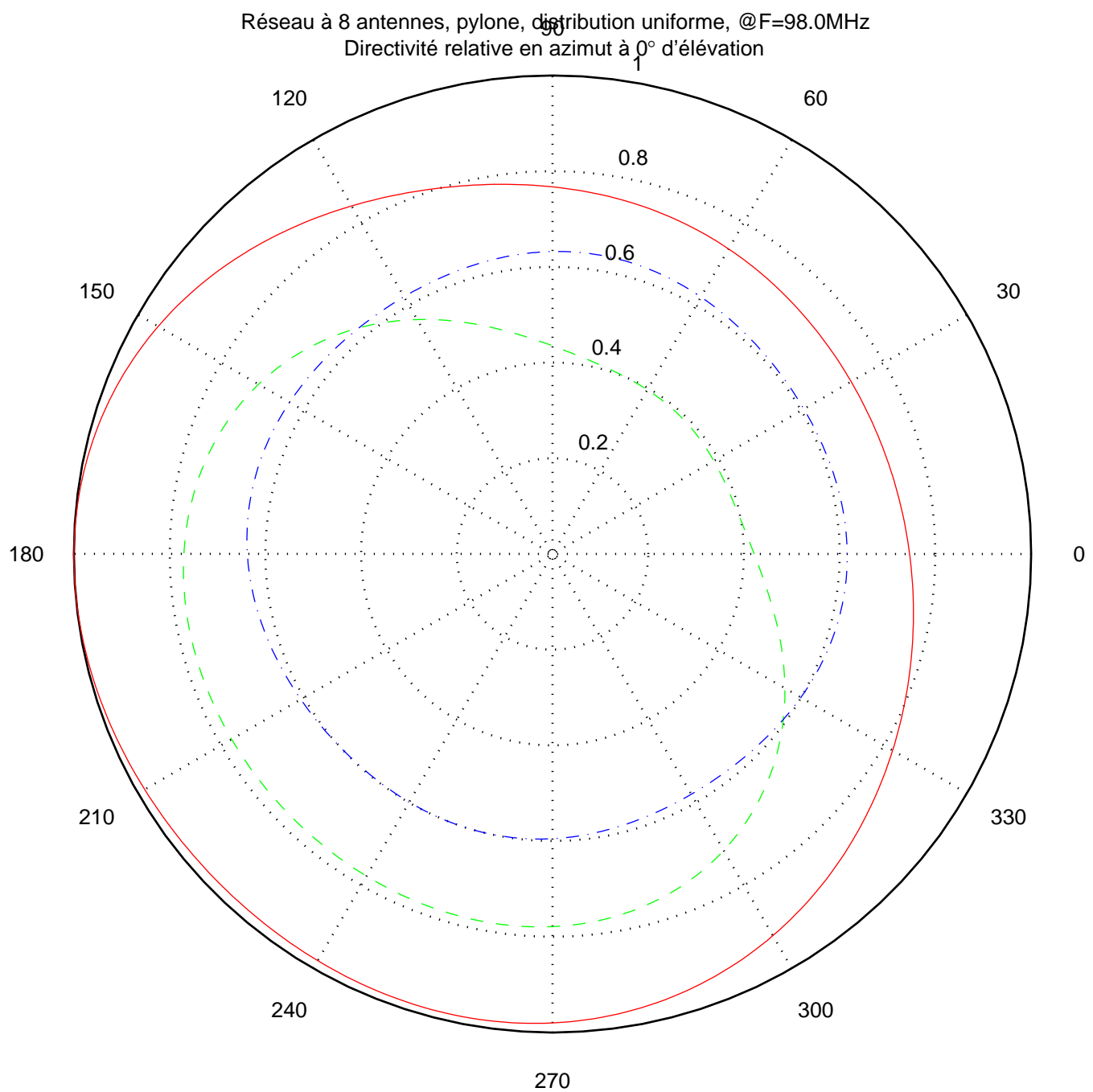


Réseau à 8 antennes, pylone, distribution uniforme, @F=98.0MHz  
Intensités normalisées au maximum de chaque composante

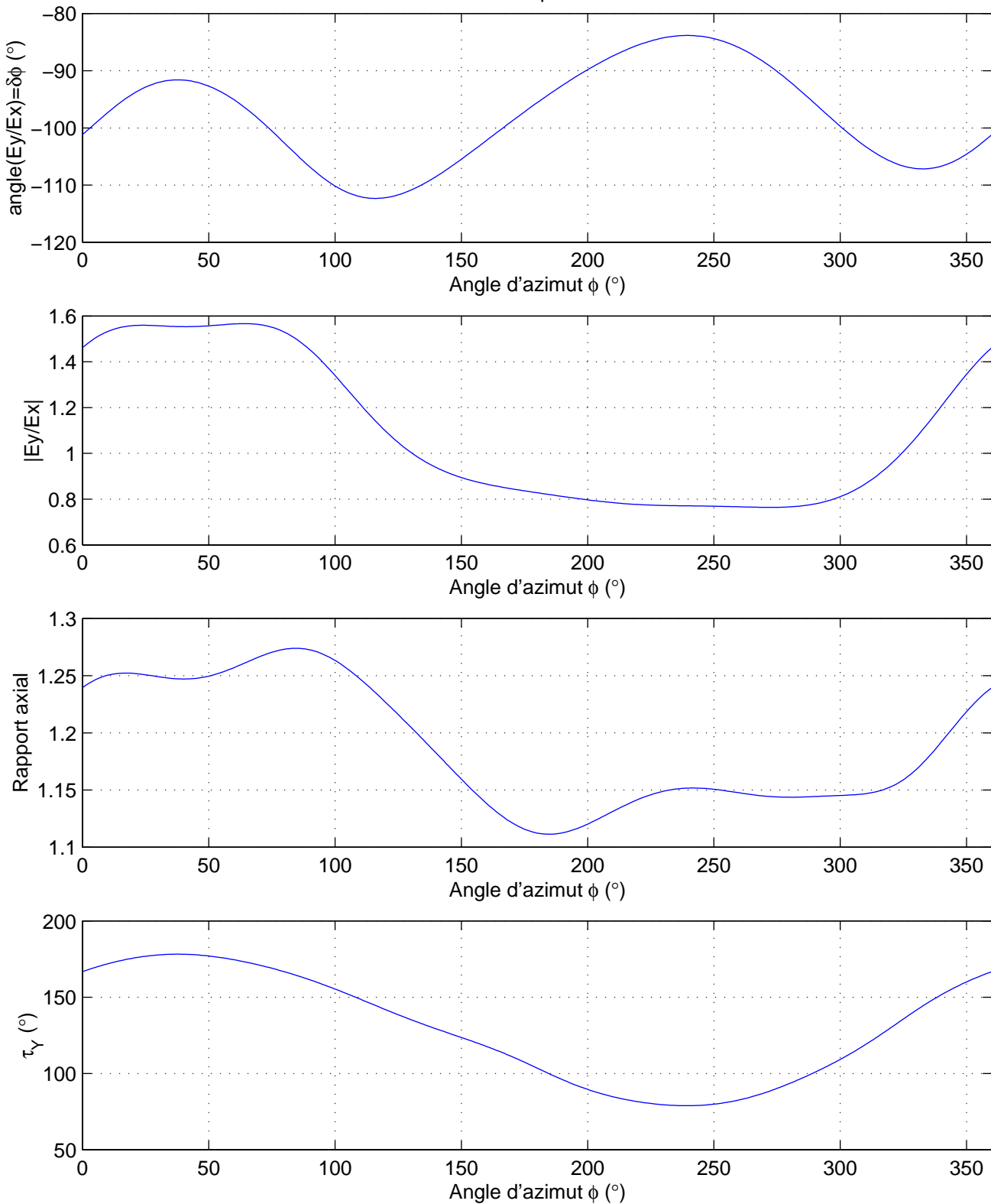


Réseau à 8 antennes, pylone, distribution uniforme, @ $F=98.0\text{MHz}$   
Directivité en élévation pour différents angles d'azimut

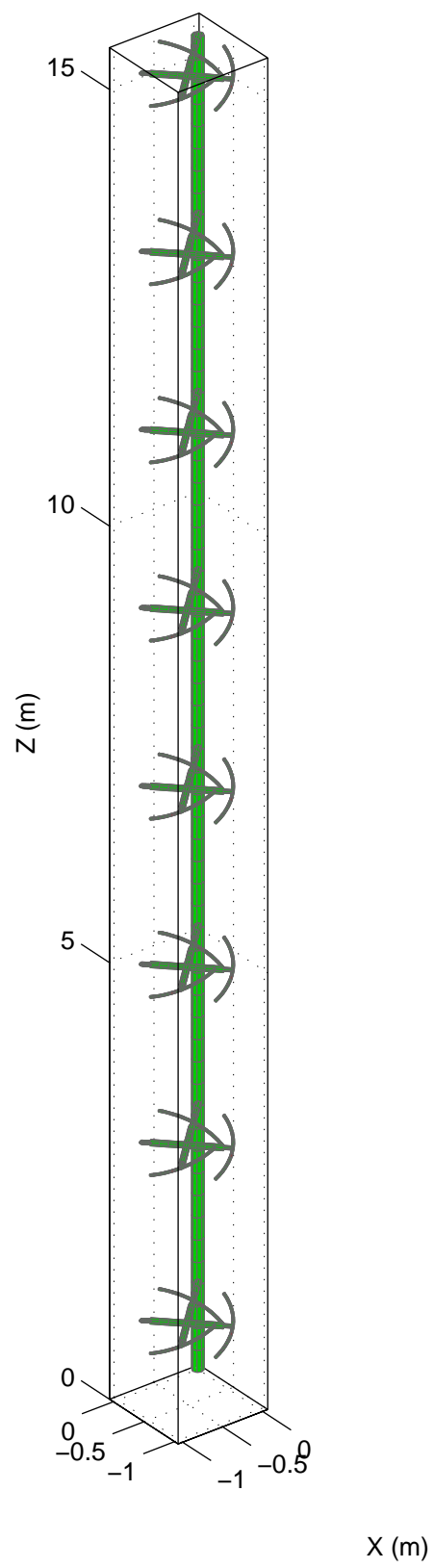




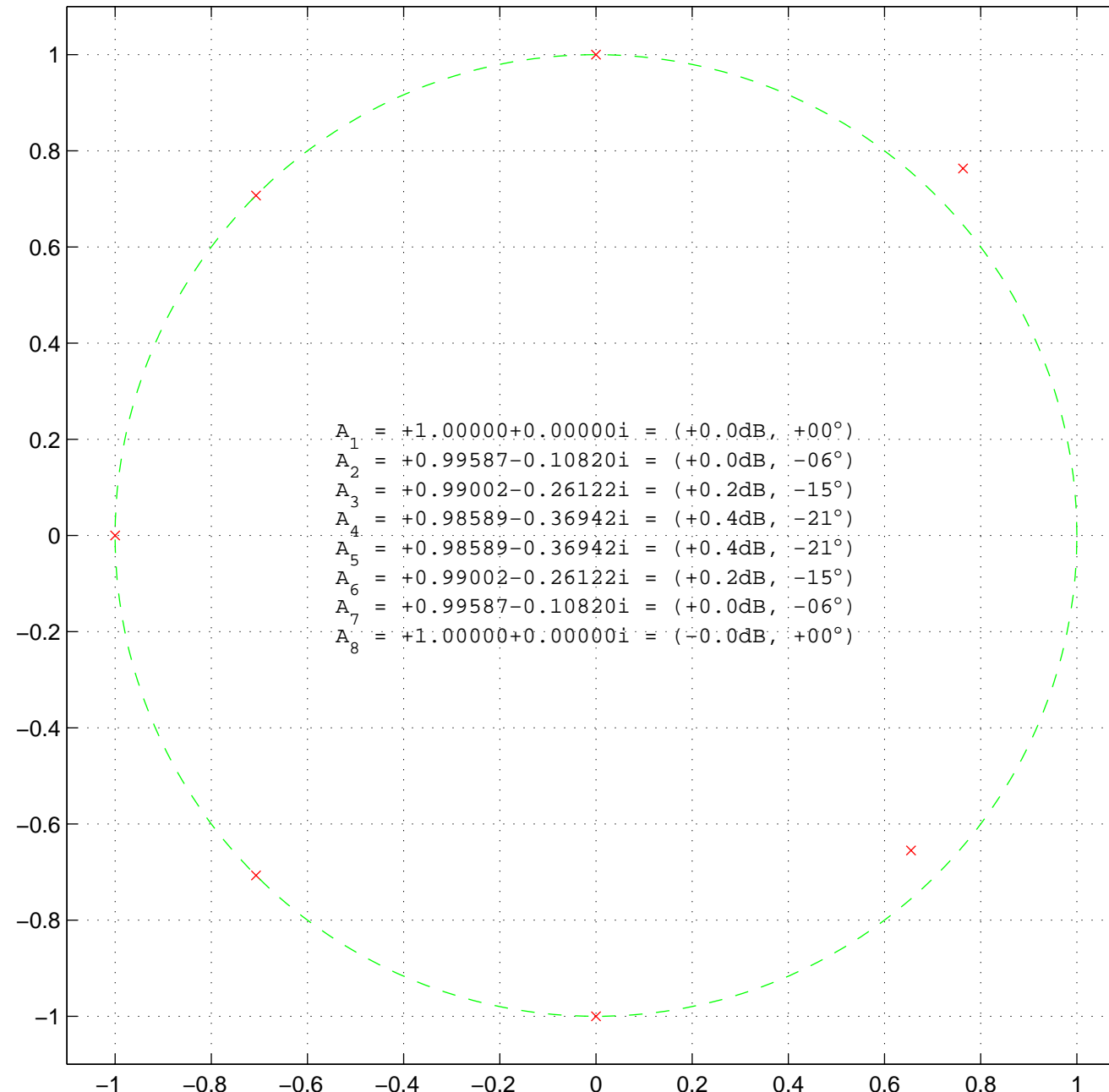
Réseau à 8 antennes, pylone, distribution uniforme, @F=98.0MHz  
 Étude de la polarisation



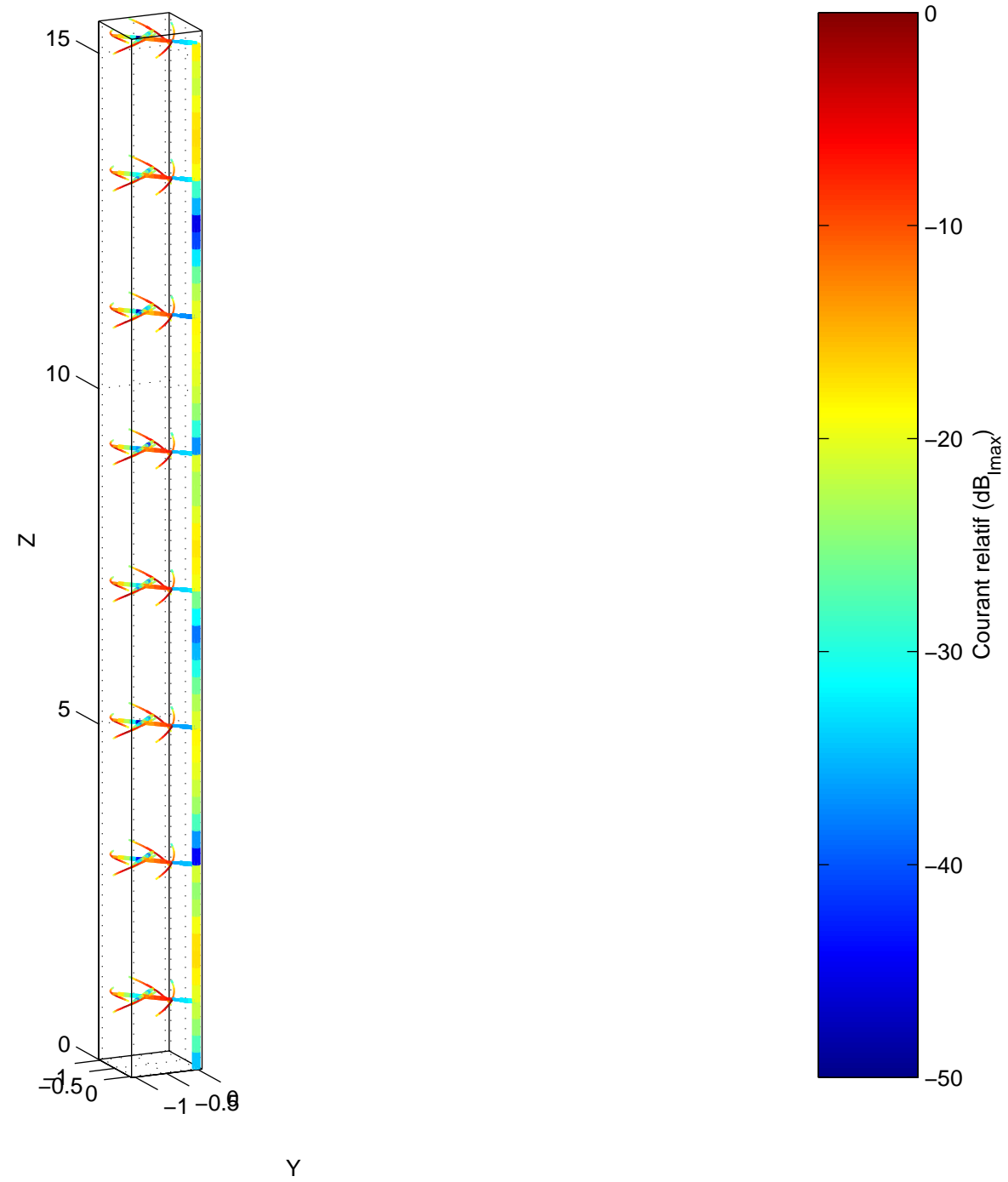
Réseau à 8 antennes, pylone, null–fill 20dB, @F=98.0MHz  
764 segments, 32 sources, 0 impédances



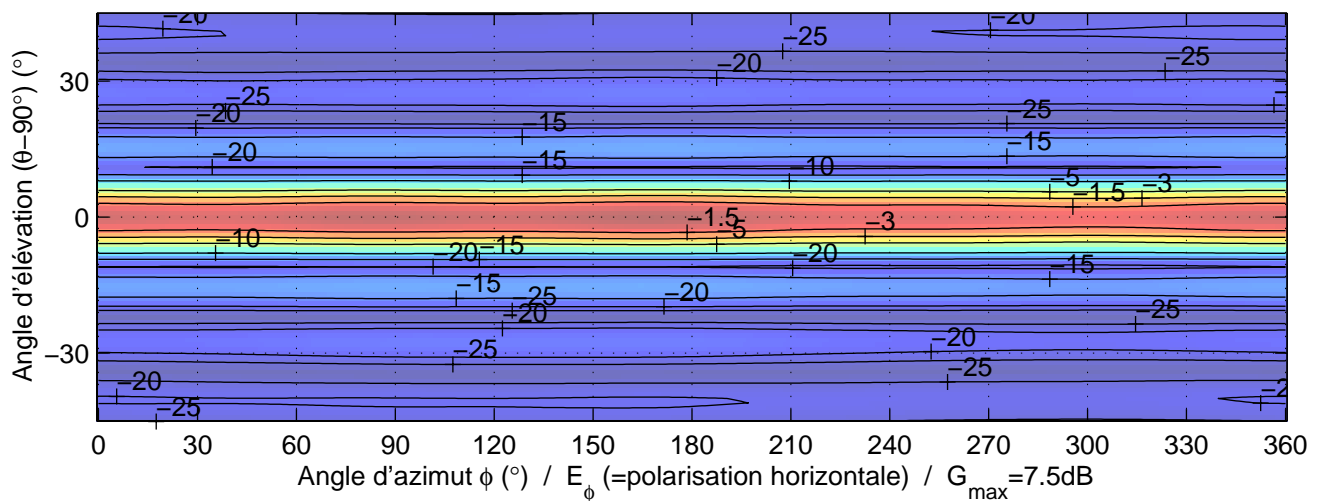
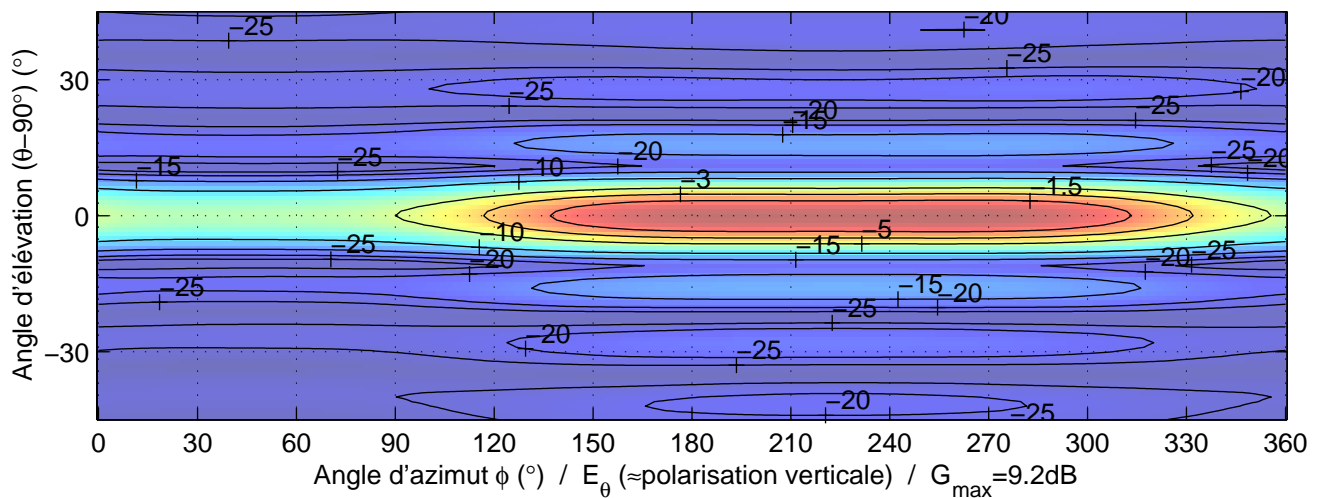
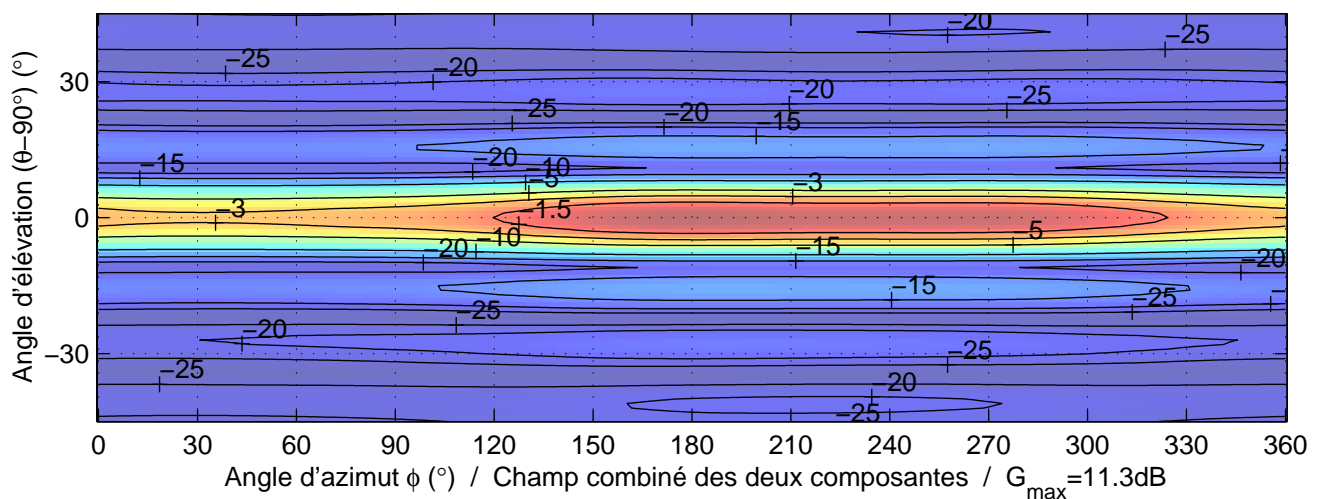
Réseau à 8 antennes, pylone, null–fill 20dB, @F=98.0MHz  
 Pondération des éléments du réseau, et représentation de Schelkunoff



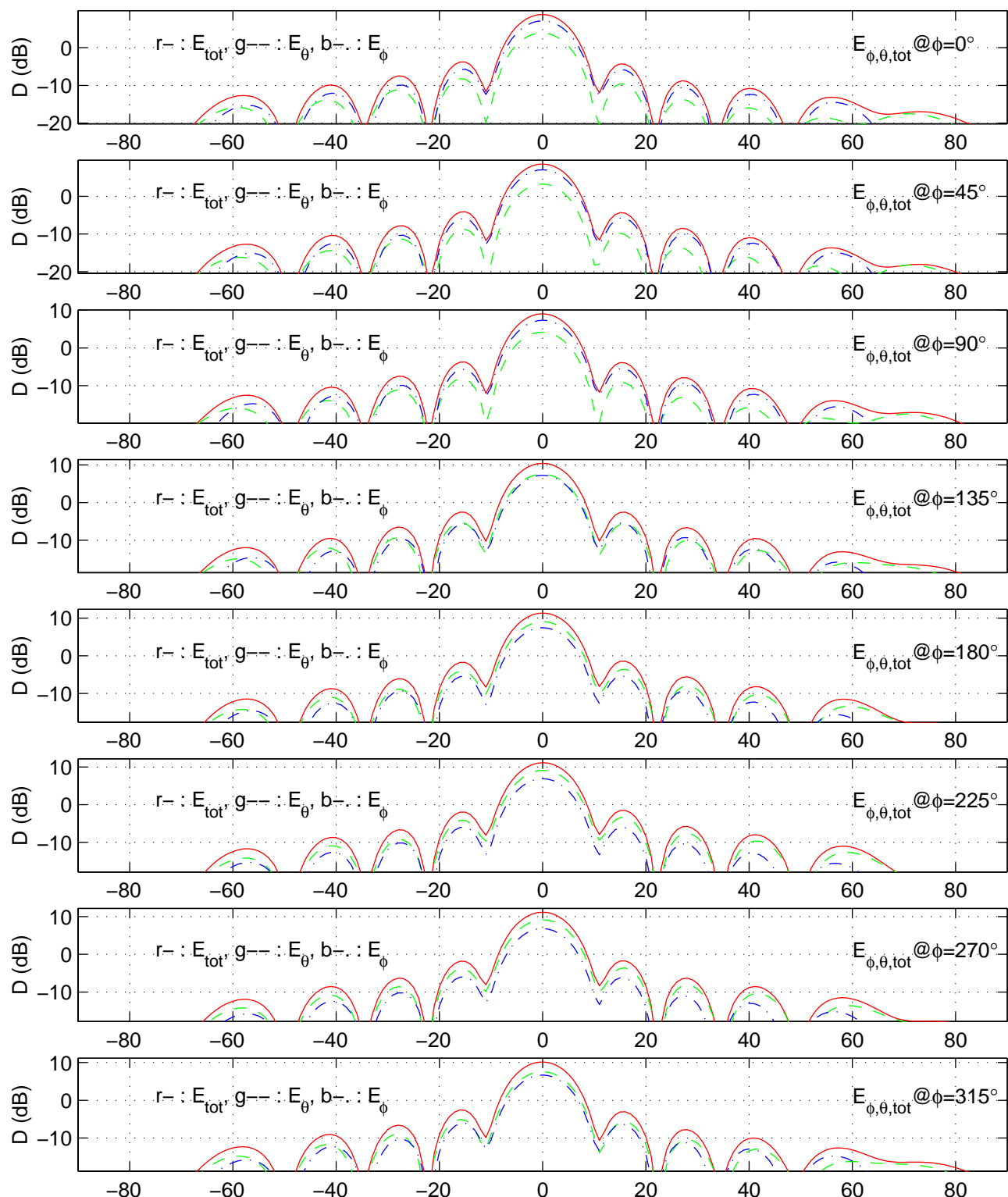
Réseau à 8 antennes, pylone, null-fill 20dB, @F=98.0MHz

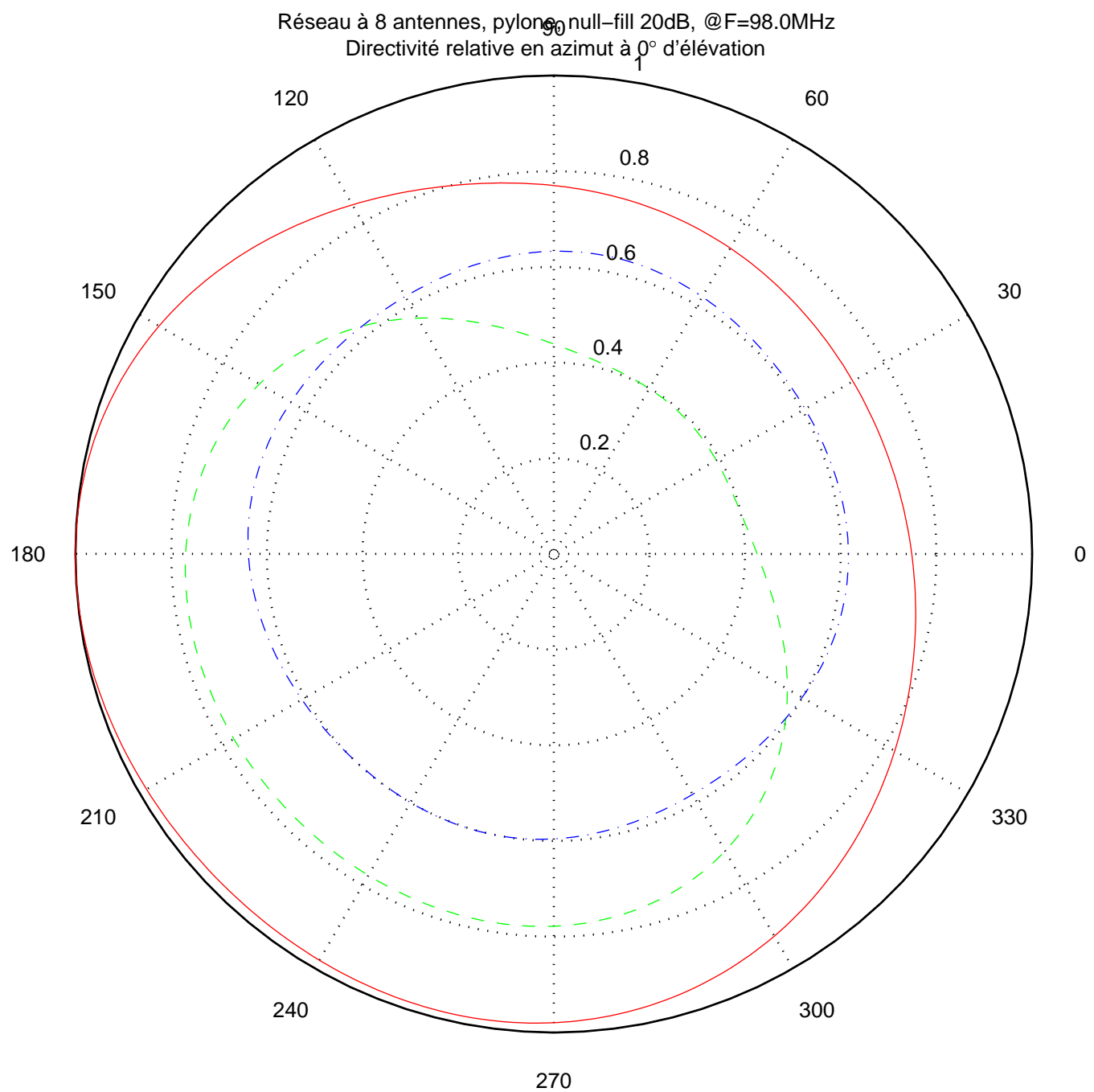


Réseau à 8 antennes, pylone, null-fill 20dB, @F=98.0MHz  
Intensités normalisées au maximum de chaque composante

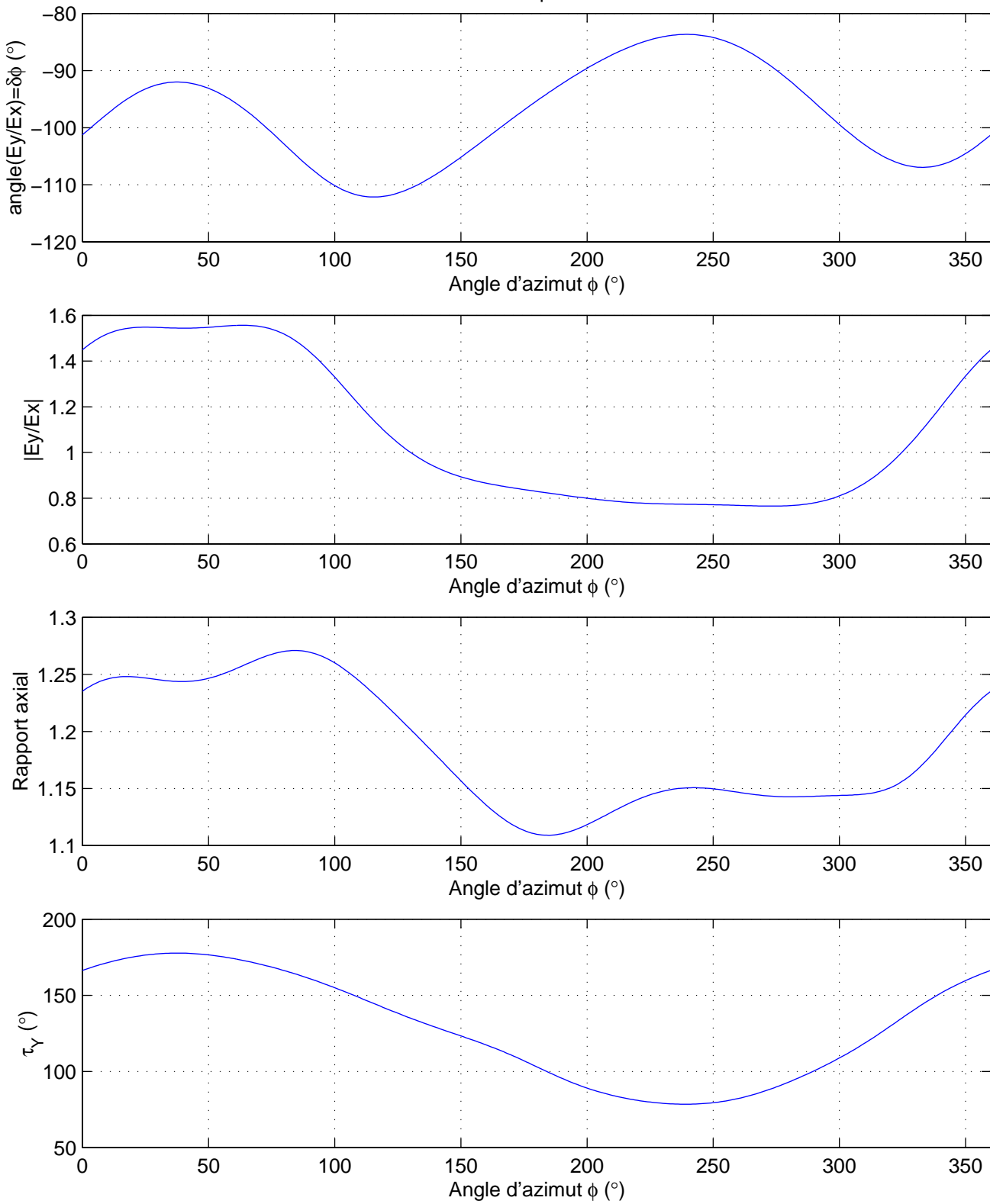


Réseau à 8 antennes, pylone, null–fill 20dB, @F=98.0MHz  
Directivité en élévation pour différents angles d'azimut

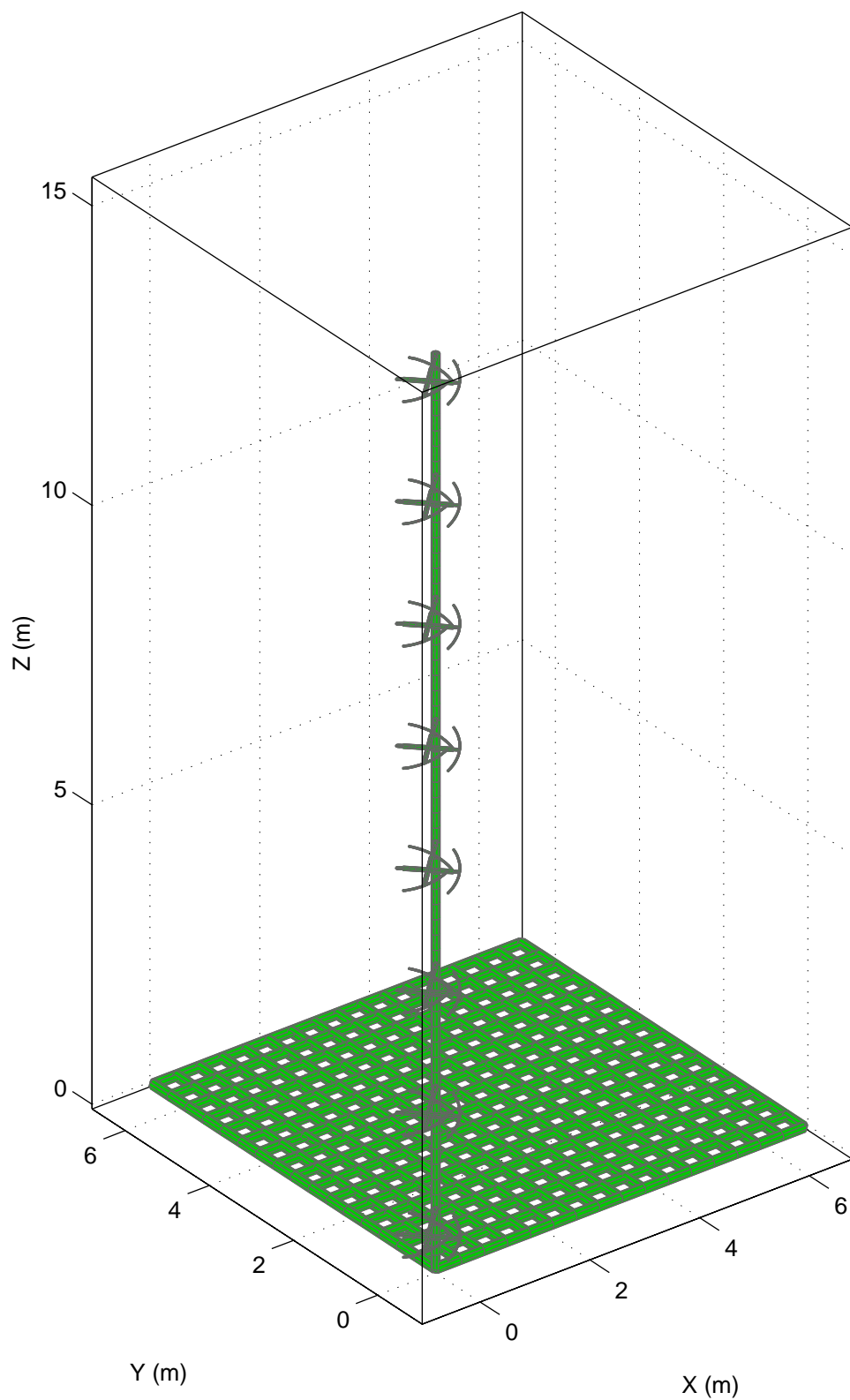




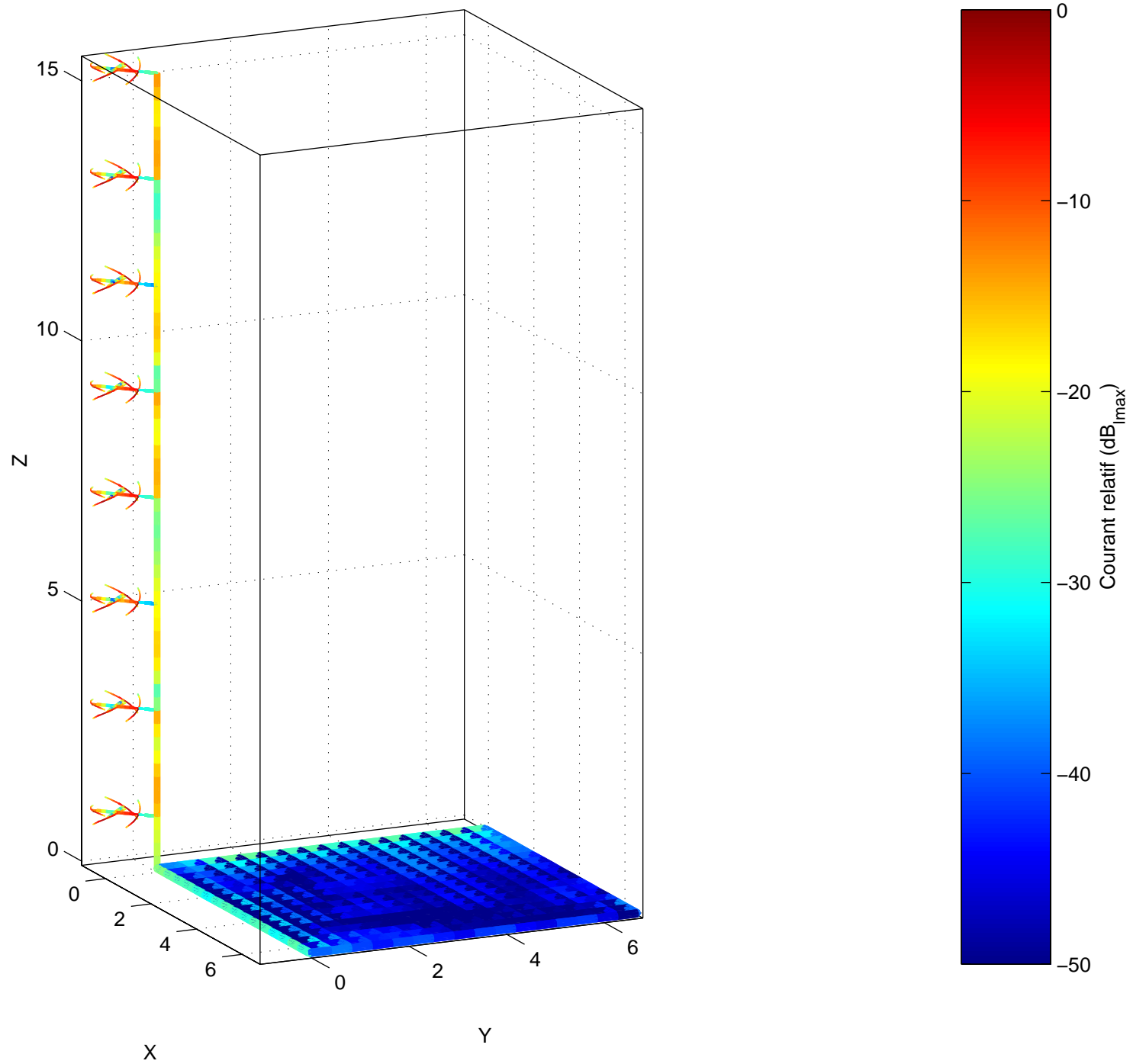
Réseau à 8 antennes, pylone, null–fill 20dB, @F=98.0MHz  
 Étude de la polarisation



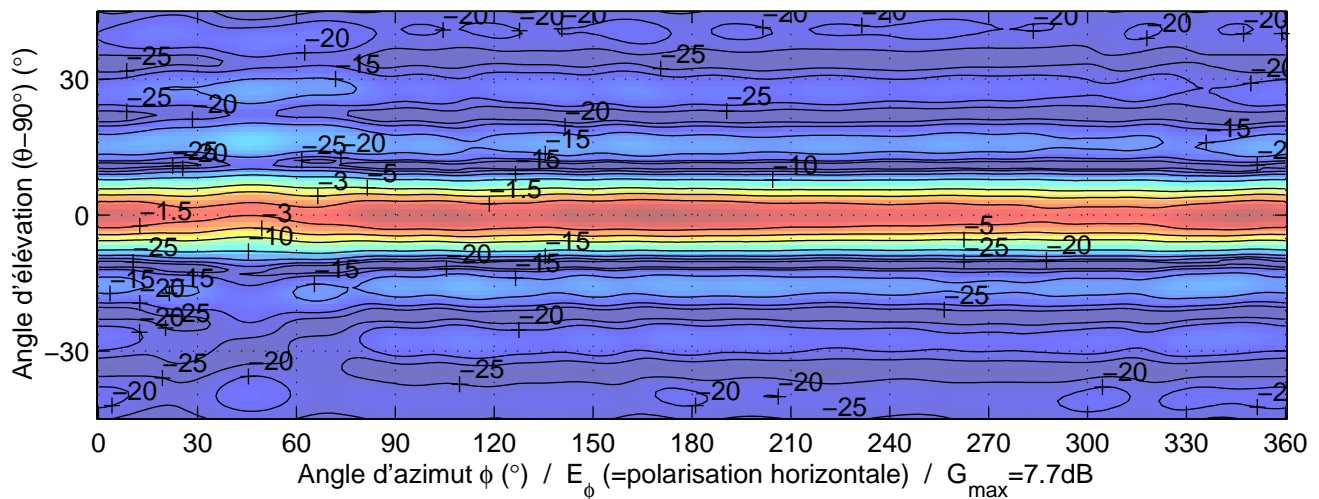
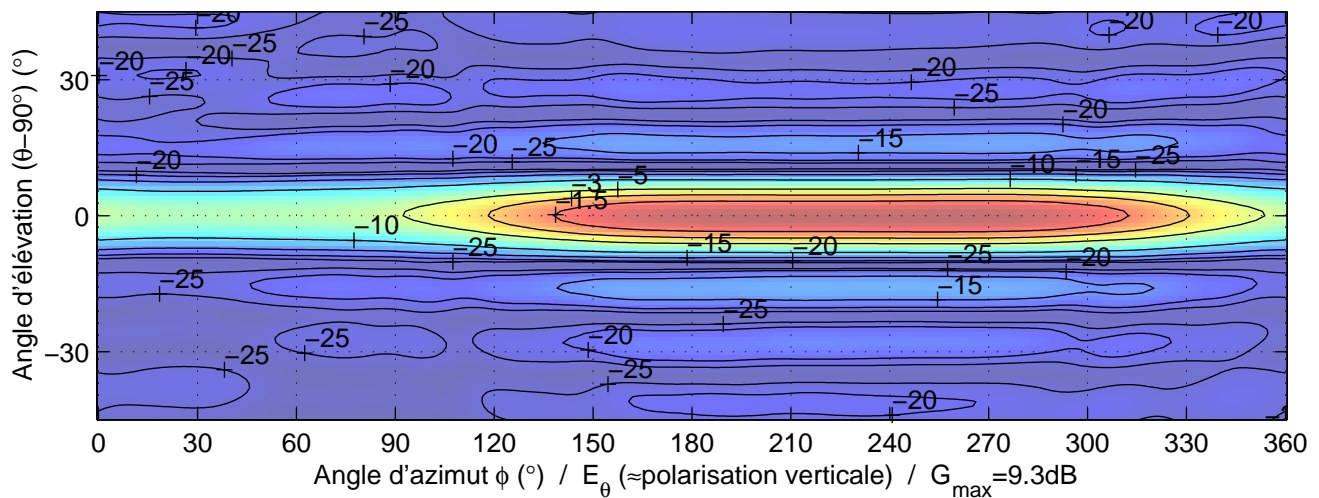
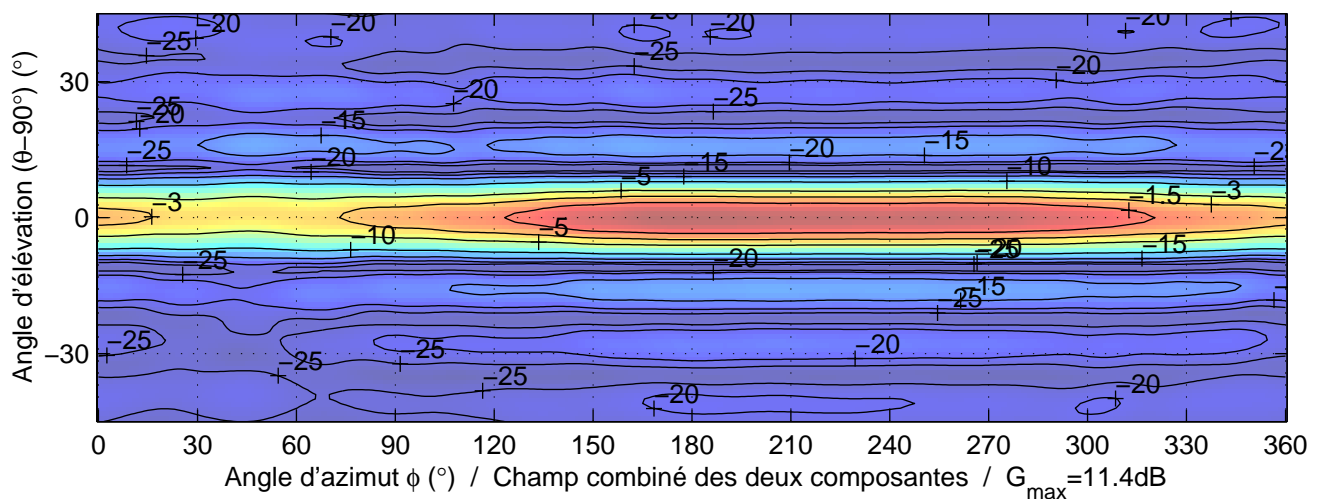
Réseau 8 antennes, +pylone, +null-fill 20dB, +plate-forme, @F=98.0MHz  
1308 segments, 32 sources, 0 impédances



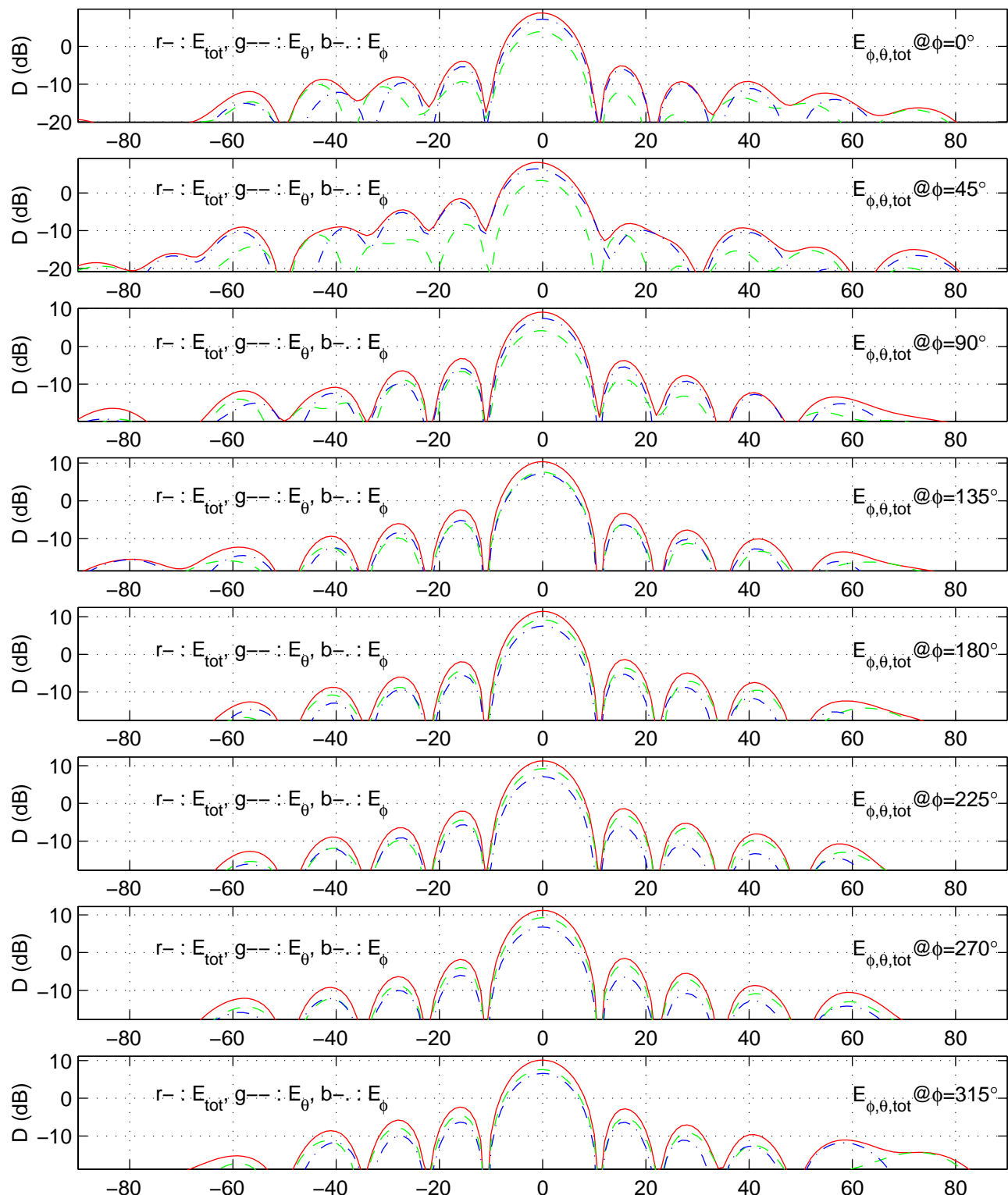
Réseau 8 antennes, +pylone, +null-fill 20dB, +plate-forme, @F=98.0MHz

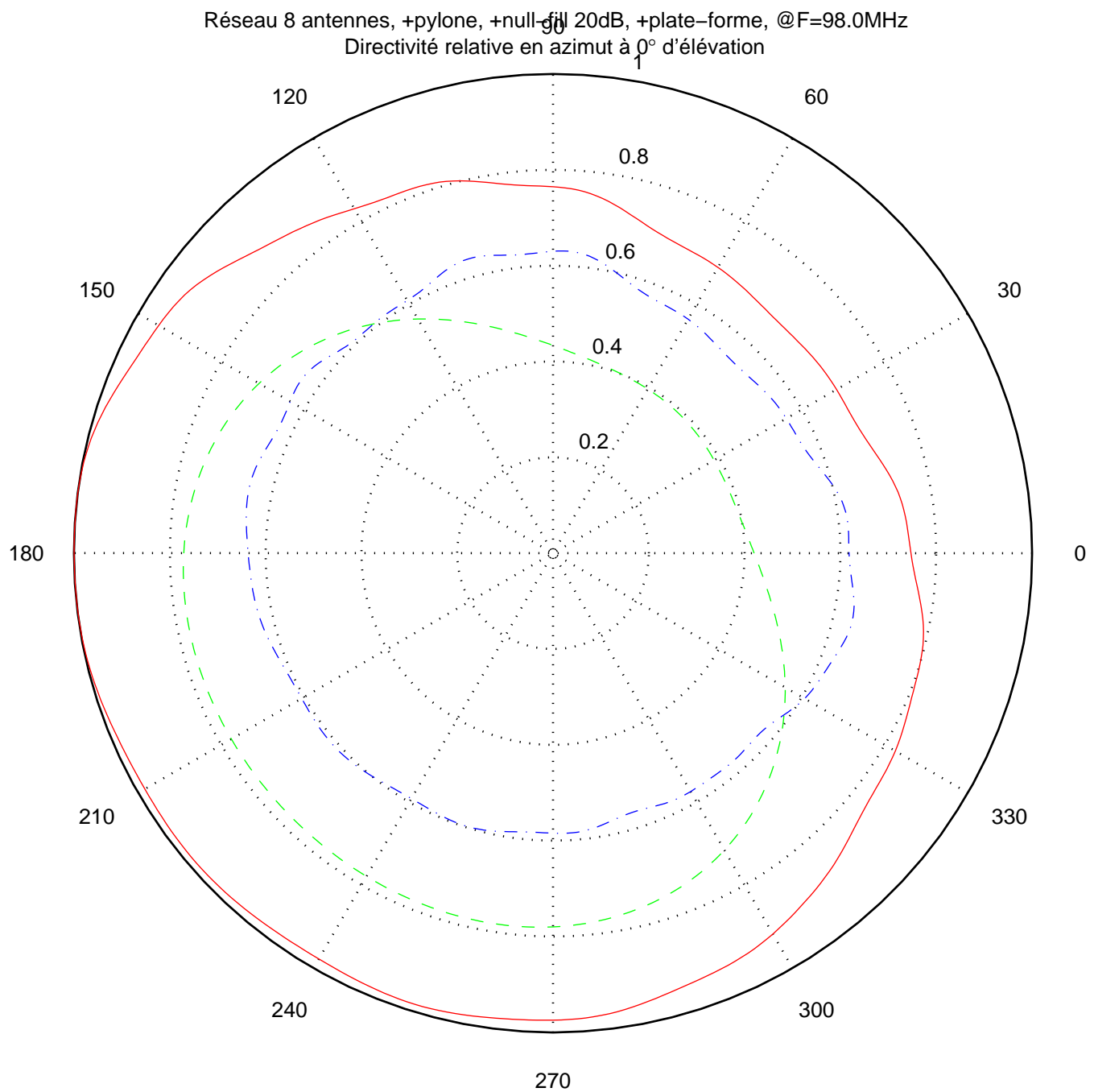


Réseau 8 antennes, +pylone, +null-fill 20dB, +plate-forme, @F=98.0MHz  
Intensités normalisées au maximum de chaque composante

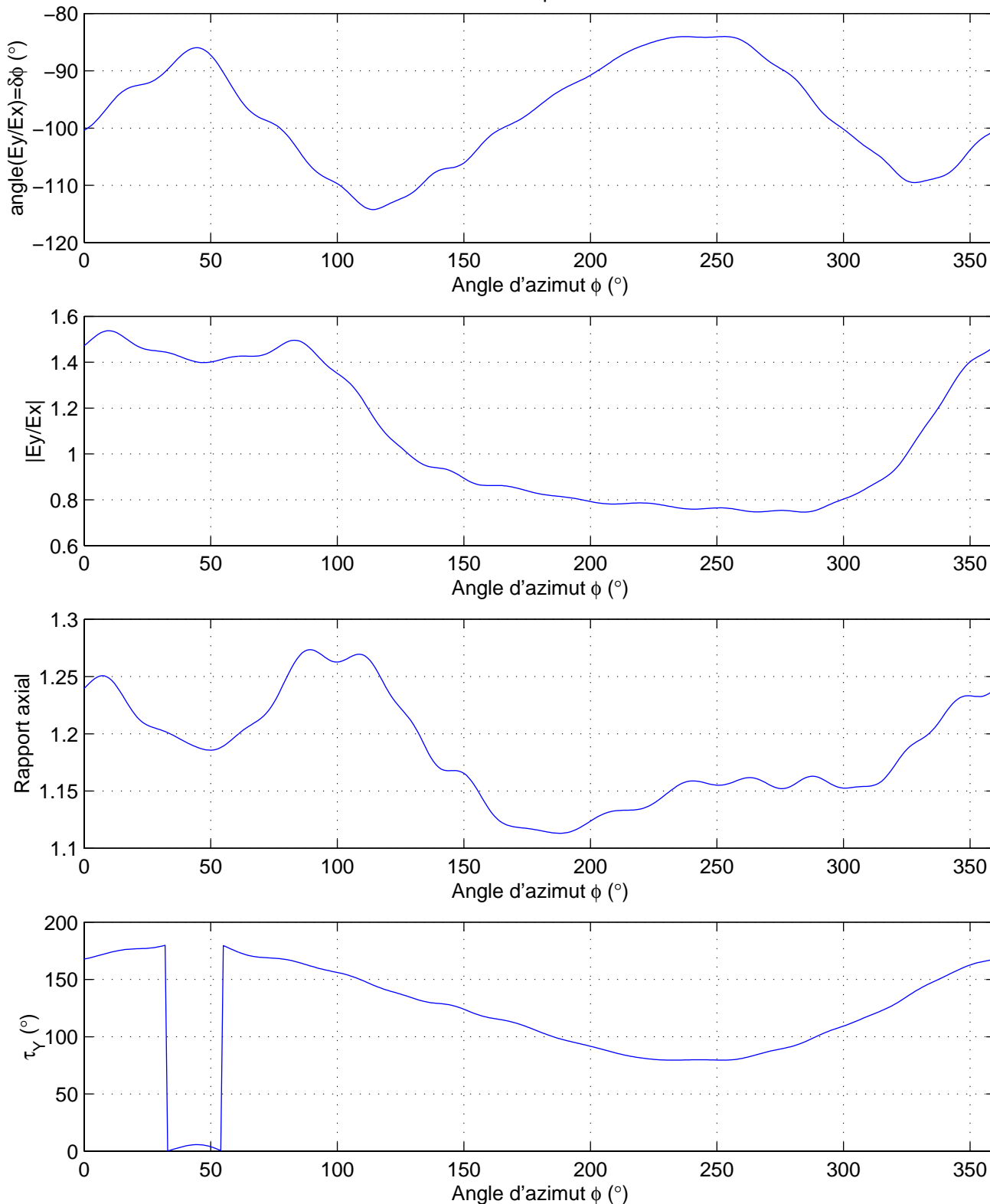


Réseau 8 antennes, +pylone, +null-fill 20dB, +plate-forme, @F=98.0MHz  
Directivité en élévation pour différents angles d'azimut

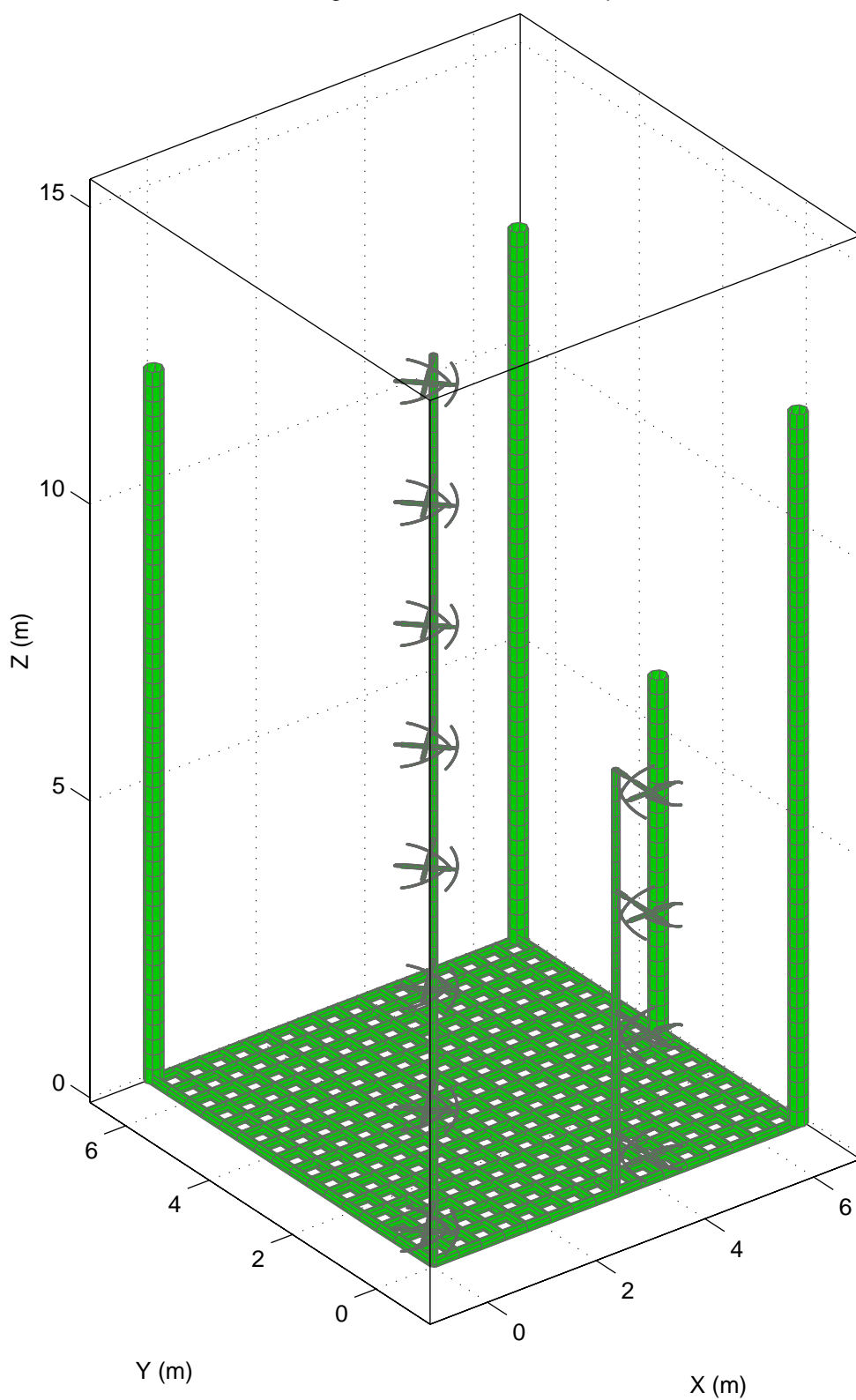




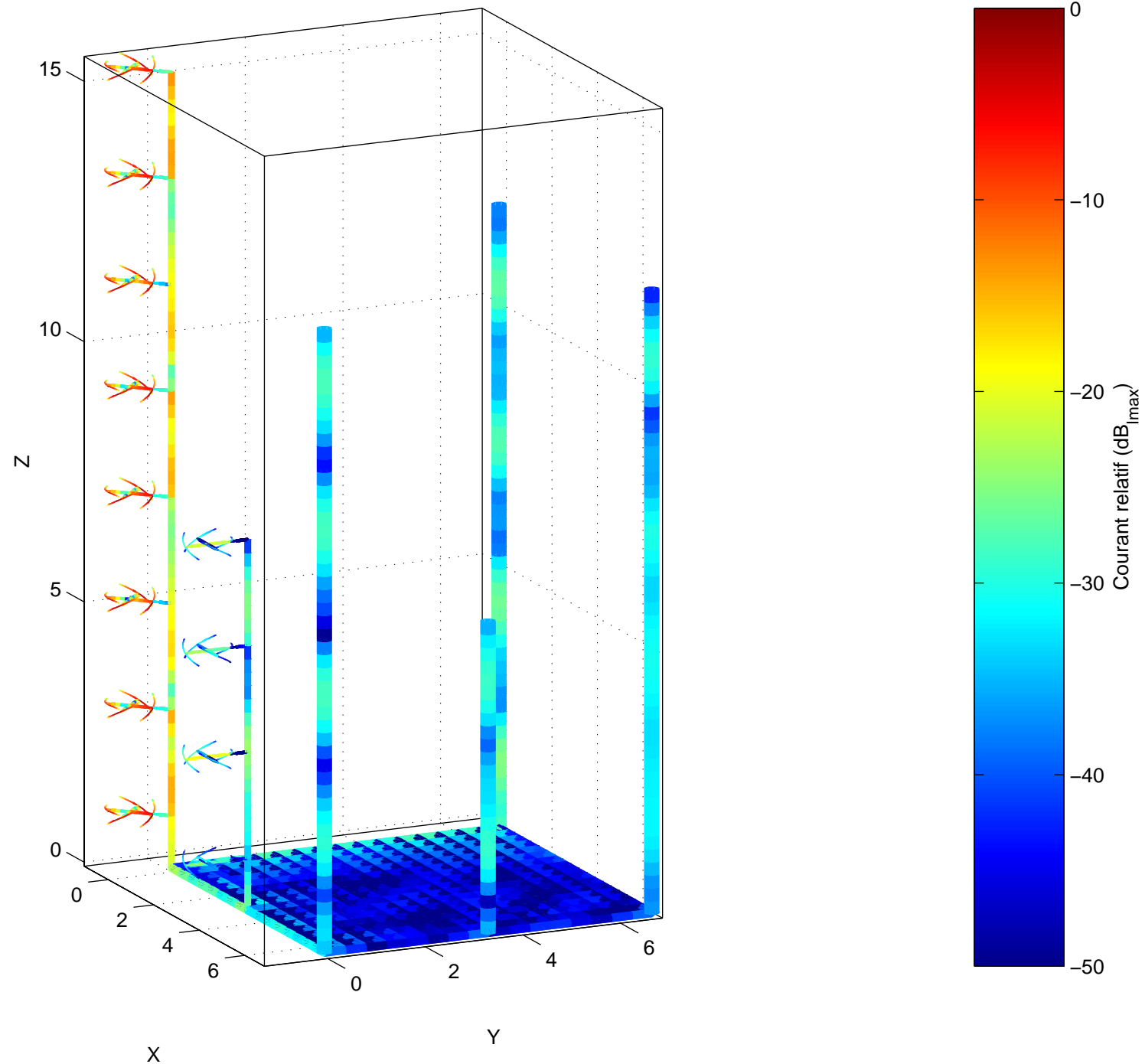
Réseau 8 antennes, +pylone, +null-fill 20dB, +plate-forme, @F=98.0MHz  
Étude de la polarisation



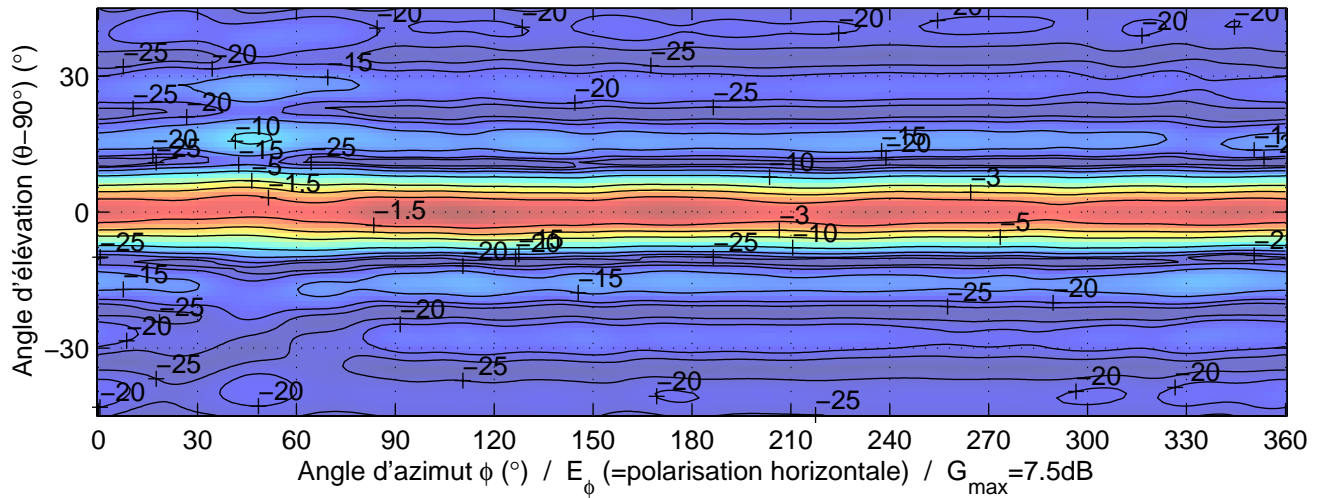
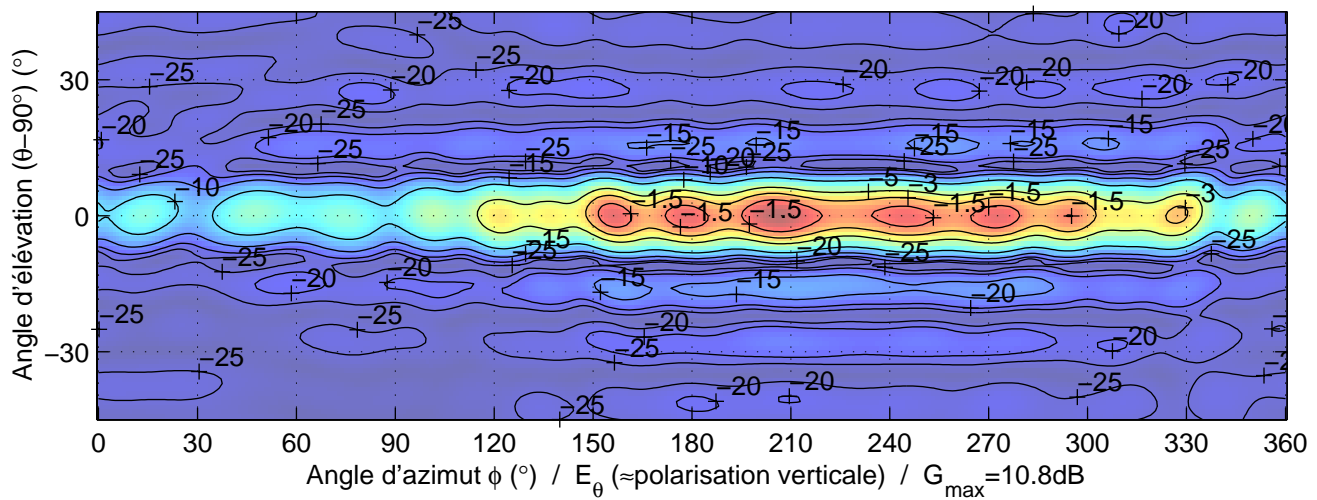
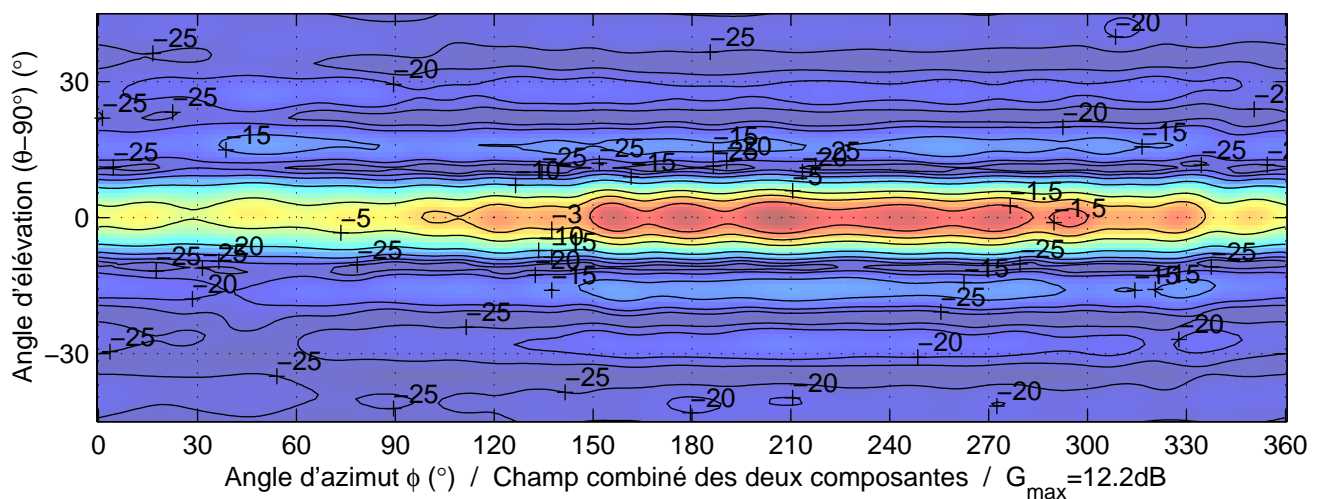
Réseau 8 antennes, +pylone, +null–fill 20dB, +plate–forme, +TV, @F=98.0MHz  
1856 segments, 32 sources, 16 impédances



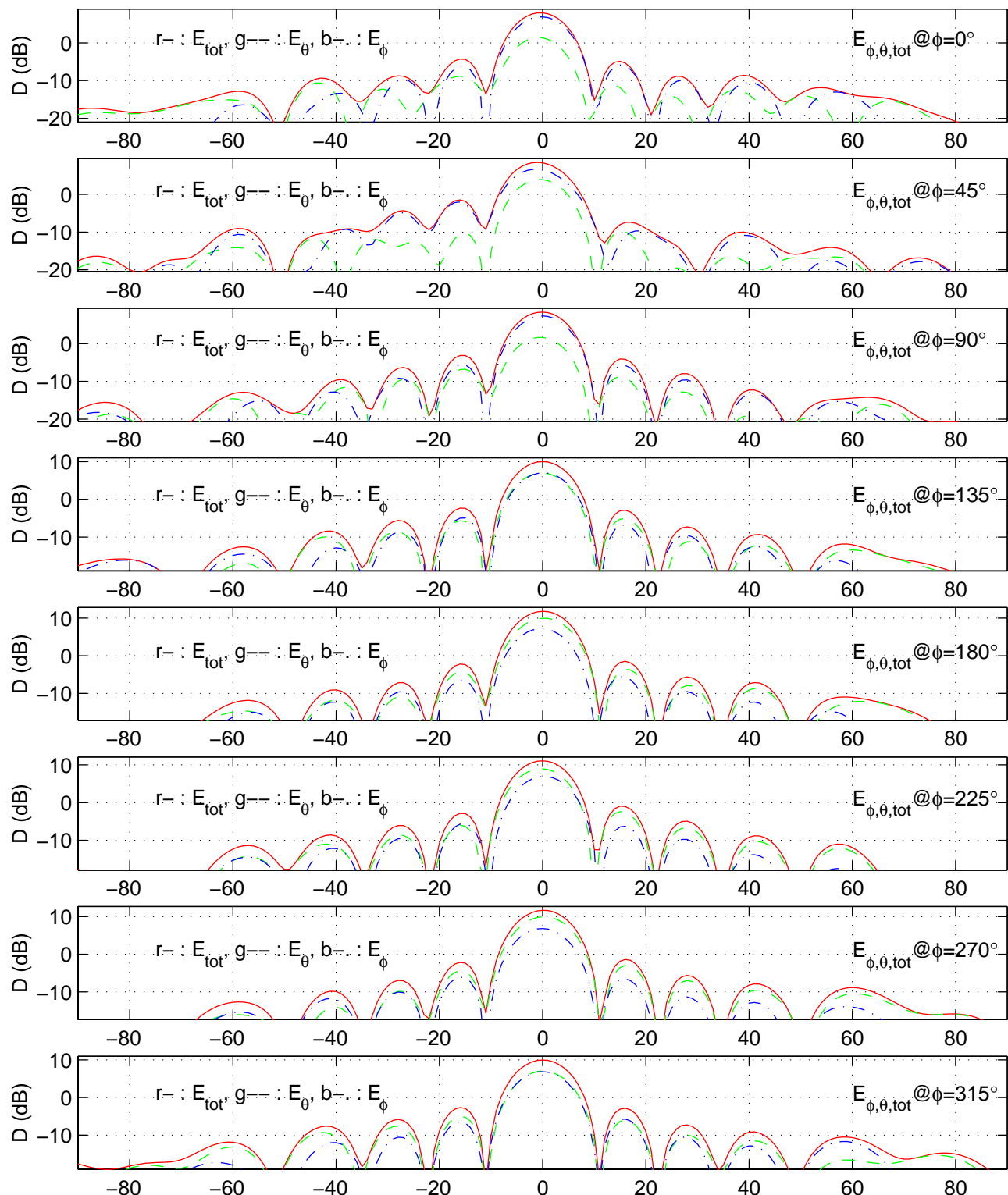
Réseau 8 antennes, +pylone, +null-fill 20dB, +plate-forme, +TV, @F=98.0MHz

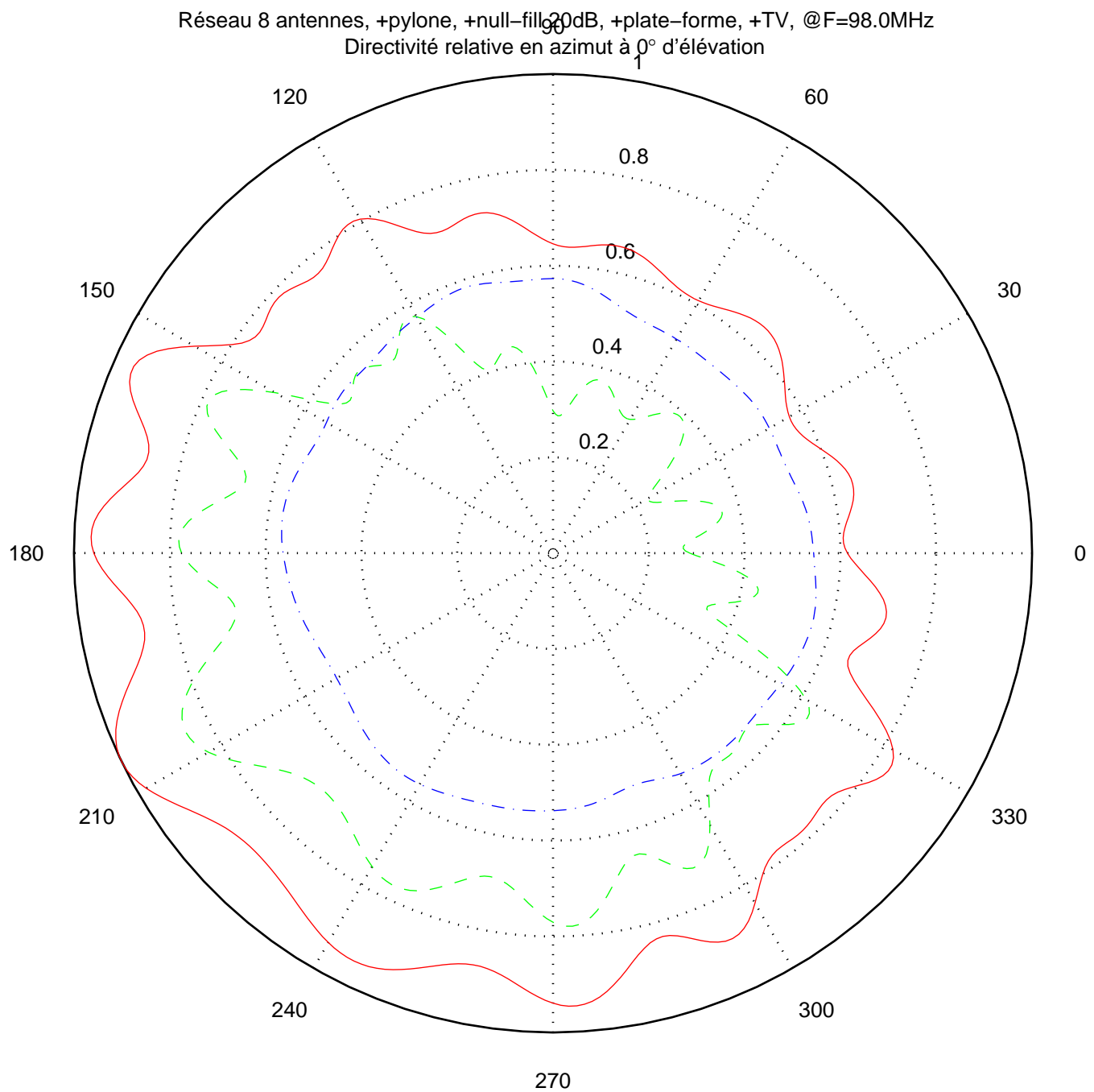


Réseau 8 antennes, +pylone, +null–fill 20dB, +plate–forme, +TV, @F=98.0MHz  
Intensités normalisées au maximum de chaque composante



Réseau 8 antennes, +pylone, +null–fill 20dB, +plate–forme, +TV, @F=98.0MHz  
Directivité en élévation pour différents angles d'azimut





Réseau 8 antennes, +pylone, +null–fill 20dB, +plate–forme, +TV, @F=98.0MHz  
Étude de la polarisation

